



XIAMEN
UNIVERSITY

1

COMPUTER GRAPHICS

第十一章 参数曲面

陈中贵

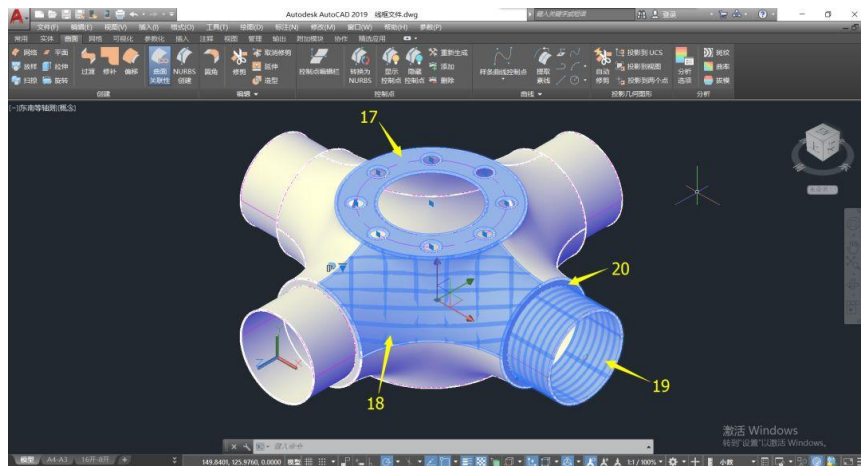
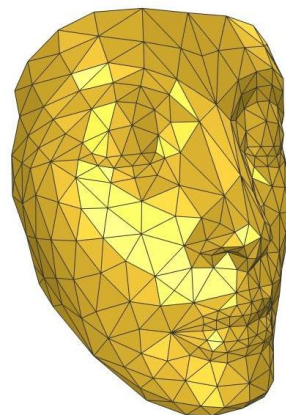
厦门大学信息学院

<http://graphics.xmu.edu.cn>

不止平面

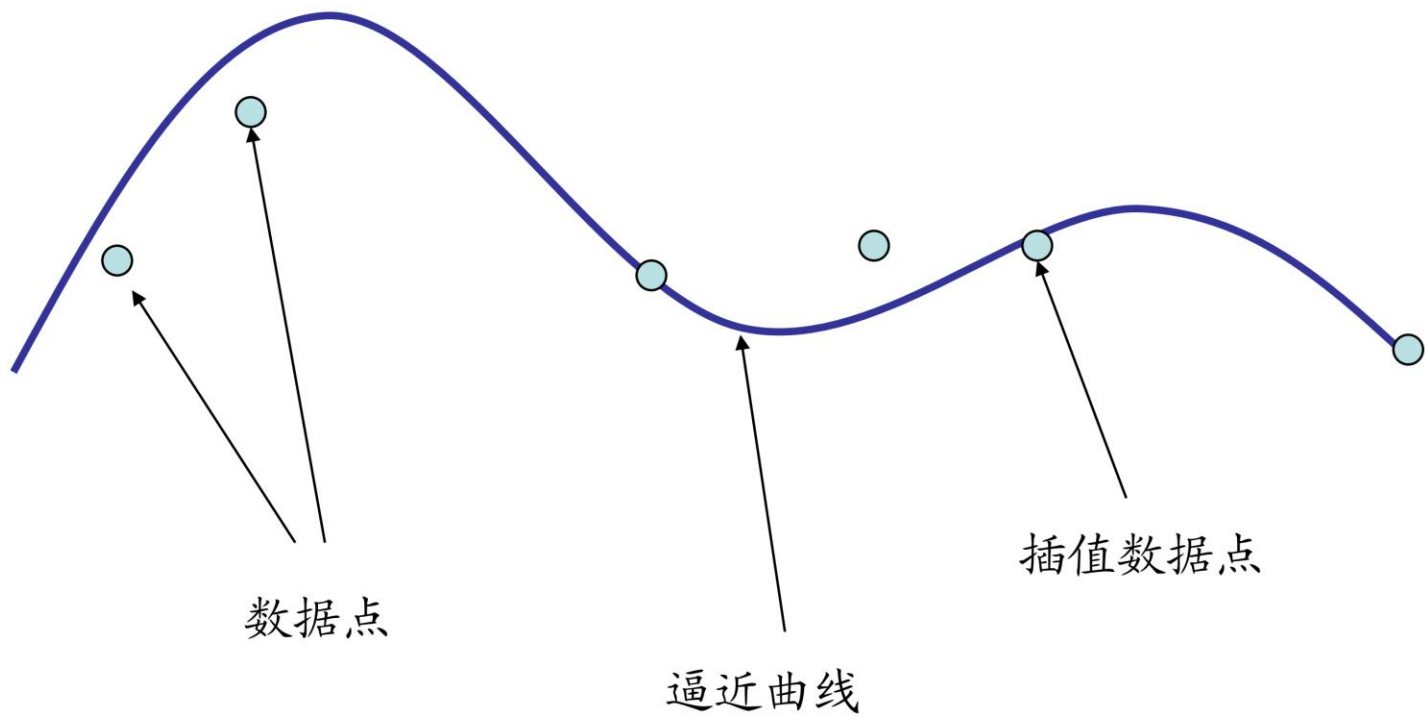
2

- 直到现在为止我们一直是应用平面元素进行建模
 - 非常适合于图形系统硬件
 - 数学上相当简单
- 但世界并不只是由平面元素构成的
 - 精确建模需要用到曲线和曲面
 - 显示时通过用平面元素进行逼近



用曲线建模

3



如何给出好的表示？

4

- 有许多方法表示曲线和曲面
- 我们需要一种方法，它具有性质
 - 稳定
 - 光滑
 - 容易求值
 - 是否一定要插值或者只是靠近数据？
 - 是否需要导数？

显式表示

5

- 二维空间中最熟悉的曲线形式为显式表示

$$y = f(x)$$

- 不能表示所有的曲线

- 直线的斜截式表示 $y = mx + h$

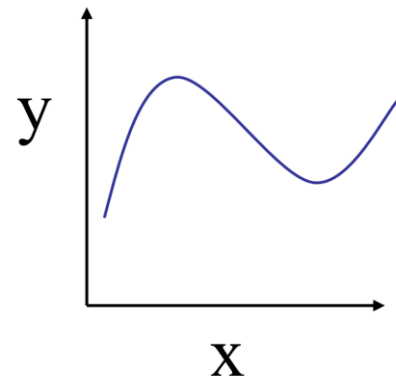
- 不能表示竖直线

- 使用显式形式只能表示半圆：

$$y = \sqrt{r^2 - x^2}$$

$$y = -\sqrt{r^2 - x^2}$$

这里， $0 \leq |x| \leq r$



显式表示

6

- 三维空间中，曲线显式表示形式需要两个因变量

$$y = f(x), z = g(x)$$

- 曲面表示需要两个自变量

$$z = f(x, y)$$

- 同样地，不能表示所有的曲线或曲面

- 方程 $y = ax + b, z = cx + d$ 表示三维直线，但不能表示 x 为常数平面上的直线

- 方程 $z = f(x, y)$ 不能表示整球面

隐式表示

7

- 隐式曲线是二元函数的零点集

$$f(x,y) = 0$$

- 更稳定，能表示任意的直线和圆

- 直线： $ax + by + c = 0$

- 圆： $x^2 + y^2 - r^2 = 0$

- 三元函数的零点集 $f(x,y,z) = 0$ 定义一张曲面

- 平面： $ax + by + cz + d = 0$

- 球面： $x^2 + y^2 + z^2 - r^2 = 0$

- 三维曲线可表示为曲面交线 $f(x,y,z)=g(x,y,z)=0$

代数曲面

8

- 隐式表示中的函数 f 是3个变量的多项式之和

$$f(x, y, z) = \sum_i \sum_j \sum_k c_{ijk} x^i y^j z^k = 0$$

- 对二次曲面, $0 \leq i + j + k \leq 2$ 最多10项
- 实用的曲面, 如球面、圆柱面和圆锥面都是二次曲面
 - 计算光线与二次曲面的交点, 可以简化为求解一个二次方程 (即, 最多产生2个交点)

代数曲面

9

□ 隐

Nepali

$$(xy-z^3-1)^2 + (x^2+y^2-1)^3 = 0$$



Pilzchen

$$(z^3-1)^2 + (x^2+y^2-1)^3 = 0$$



□ 对

Crixxi

$$(y^2+z^2-1)^2 + (x^2+y^2-1)^3 = 0$$



Berg

$$x^2+y^2z^2+z^3=0$$



□ 实

Wigwam

$$x^2+y^2z^3=0$$



Tuelle

$$yz(x^2+y-z)=0$$

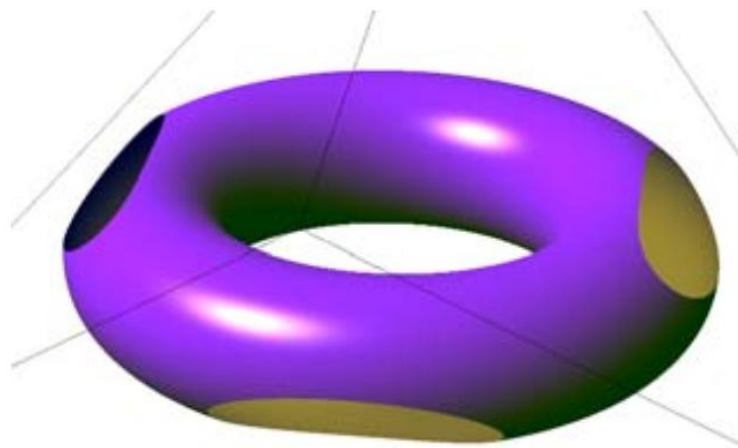
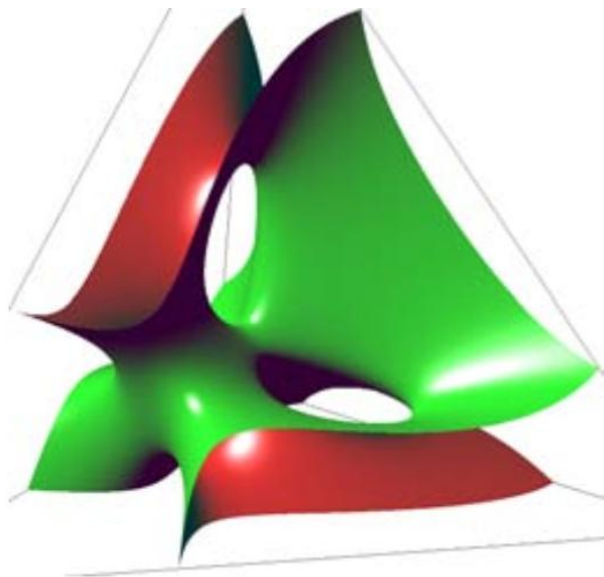


(即,

分片代数曲面

10

- 具有更强的造型能力，每片的次数较低
- 容易构造复杂形体
- 与代数曲面一样，具有多分支性



参数曲线

11

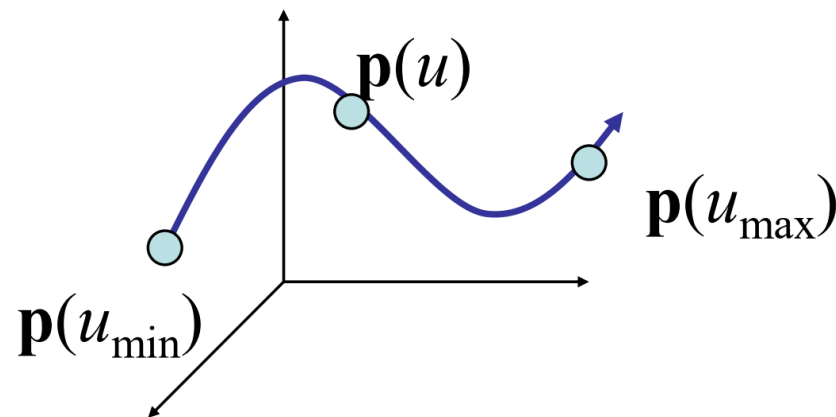
- 每个空间变量具有单独的方程

$$x = x(u)$$

$$y = y(u)$$

$$z = z(u)$$

$$\mathbf{p}(u) = [x(u), y(u), z(u)]^T$$



- 对于 $u_{\min} \leq u \leq u_{\max}$, 可以得到二维或三维空间中的一条曲线
- 在二维和三维空间中形式一致

函数选取

12

- 通常我们可以选择出“好”的函数
 - 对给定的空间曲线，表示它的函数是不唯一的
 - 逼近或插值已知数据
 - 函数容易求值
 - 函数容易求导
 - 计算法向
 - 连接曲线段
 - 函数是光滑的

参数直线

13

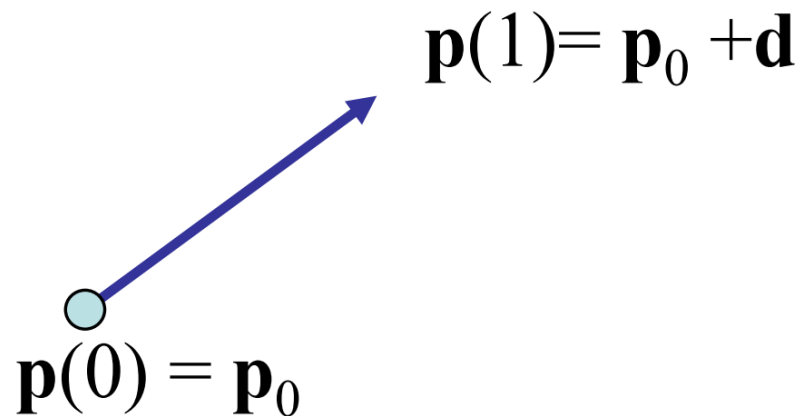
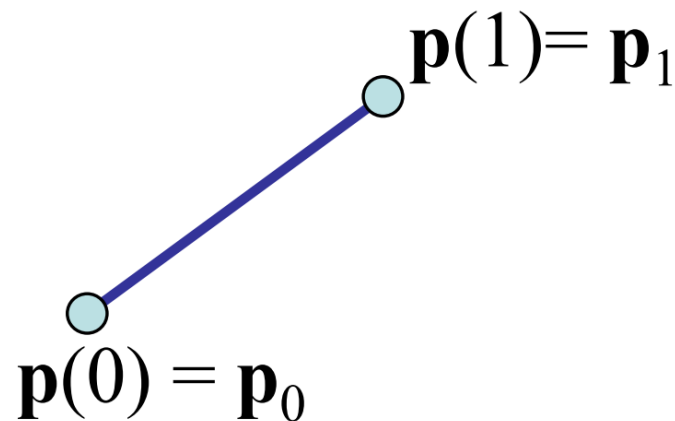
□ 可以把参数 u 规范化到区间 $[0,1]$ 内

□ 连接两点 \mathbf{p}_0 和 \mathbf{p}_1 的直线

$$\mathbf{p}(u) = (1-u) \mathbf{p}_0 + u \mathbf{p}_1$$

□ 起点为 \mathbf{p}_0 , 方向为 \mathbf{d} 的射线

$$\mathbf{p}(u) = \mathbf{p}_0 + u \mathbf{d}$$



参数曲面

14

- 曲面需要2个参数

$$x = x(u, v)$$

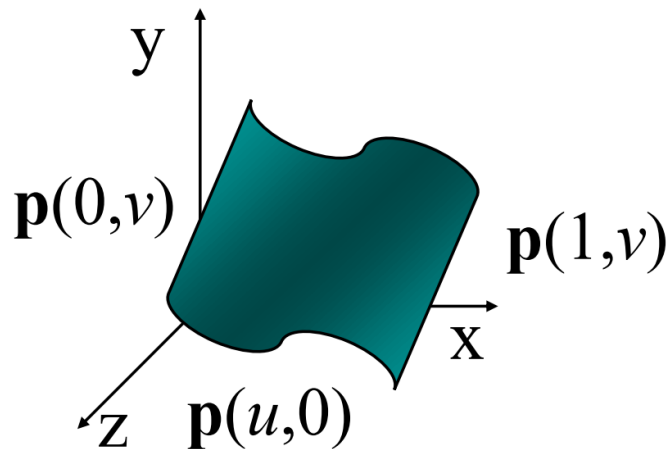
$$y = y(u, v)$$

$$z = z(u, v)$$

$$\mathbf{p}(u, v) = [x(u, v), y(u, v), z(u, v)]^T$$

- 希望与曲线具有同样的性质

- 光滑
- 可导
- 容易求值



法向

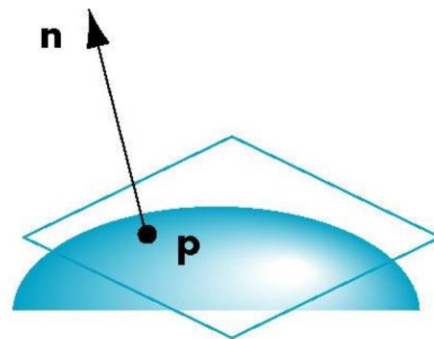
15

□ 对 \mathbf{u} 和 \mathbf{v} 求偏导可计算出在任意点 \mathbf{p} 处的法向

$$\frac{\partial \mathbf{p}(u, v)}{\partial u} = \begin{bmatrix} \partial x(u, v) / \partial u \\ \partial y(u, v) / \partial u \\ \partial z(u, v) / \partial u \end{bmatrix}$$

$$\frac{\partial \mathbf{p}(u, v)}{\partial v} = \begin{bmatrix} \partial x(u, v) / \partial v \\ \partial y(u, v) / \partial v \\ \partial z(u, v) / \partial v \end{bmatrix}$$

$$\mathbf{n} = \frac{\partial \mathbf{p}(u, v)}{\partial u} \times \frac{\partial \mathbf{p}(u, v)}{\partial v}$$



参数平面

16

- 点向式

$$\mathbf{p}(u, v) = \mathbf{p}_0 + u \mathbf{q} + v \mathbf{r}$$

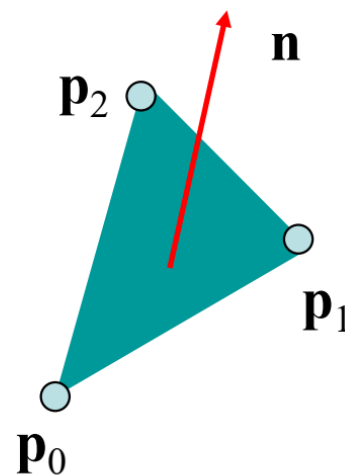
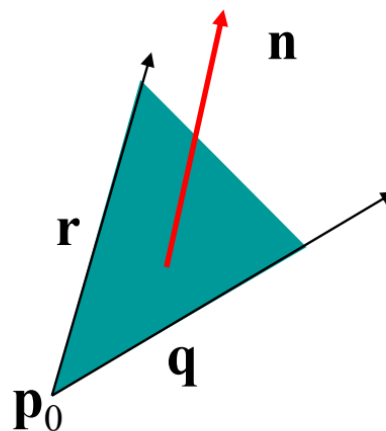
- 法向

$$\mathbf{n} = \mathbf{q} \times \mathbf{r}$$

- 三点式

$$\mathbf{q} = \mathbf{p}_1 - \mathbf{p}_0$$

$$\mathbf{r} = \mathbf{p}_2 - \mathbf{p}_0$$



参数球面

17

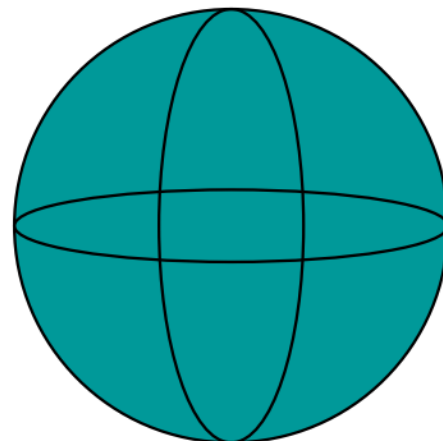
$$x(\theta, \phi) = r \cos \theta \sin \phi$$

$$y(\theta, \phi) = r \sin \theta \sin \phi$$

$$z(\theta, \phi) = r \cos \phi$$

$$0 \leq \theta \leq 360^\circ, 0 \leq \phi \leq 180^\circ$$

- $\theta = \text{常数}$: 经线圆
- $\phi = \text{常数}$: 纬线圆
- 法向: $\mathbf{n} = \mathbf{p}$



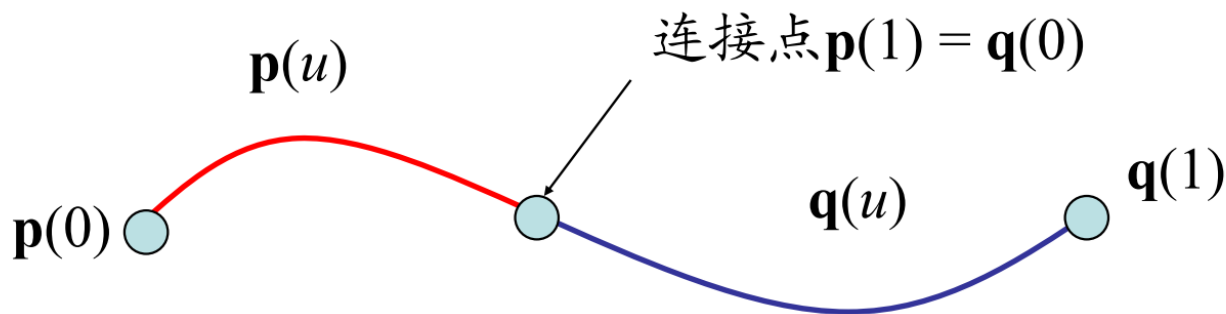
曲线段

18

- 在对 u 进行规范化后，每条曲线都可以写为

$$\mathbf{p}(u) = [x(u), y(u), z(u)]^T, 0 \leq u \leq 1$$

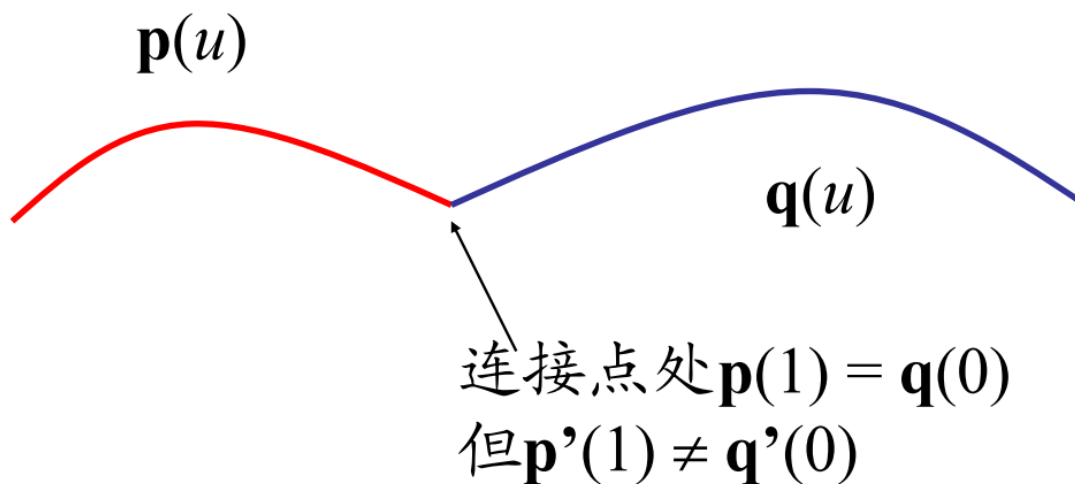
- 在经典的数值方法中我们通常是设计单条的整体曲线
- 在计算机图形学和CAD中，通常倾向于设计一些彼此相连的短曲线段



为什么采用多项式

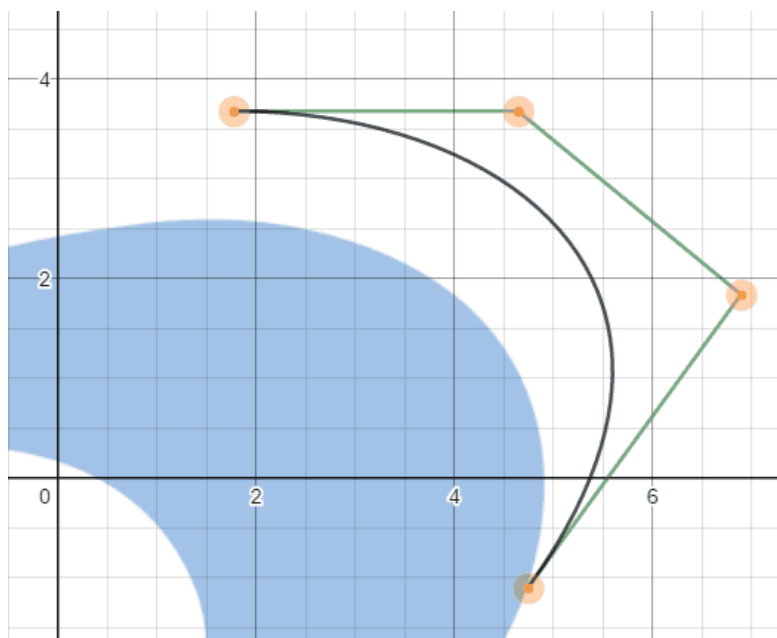
19

- 容易求值
- 处处连续而且光滑
 - 在连接点需要考虑连续性和光滑的阶数



贝塞尔曲线的由来 (1962年)

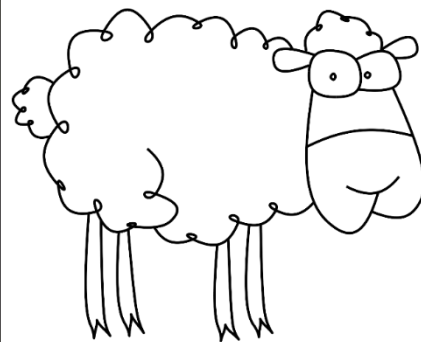
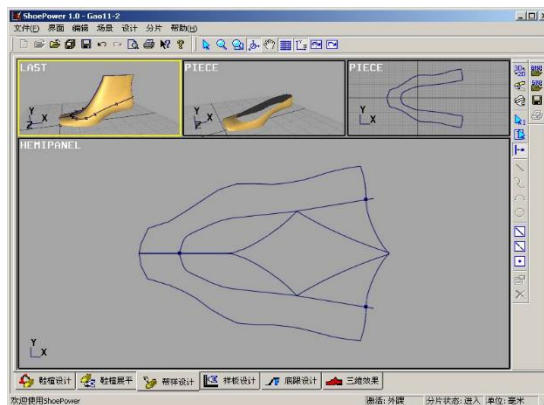
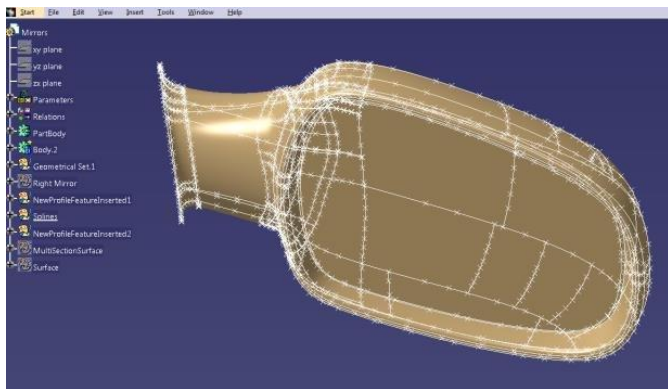
B



Pierre Étienne Bézier
(1910-1999)

应用范围

- 汽车、飞机、船舶设计与制造
- 其他制造业、医疗卫生
- 矢量绘图软件：如Photoshop, Illustrator...
- 计算机图形学、计算机动画...
-



重心

22

重心：给定平面上 $n+1$ 个质点的位置矢量 $\mathbf{P}_i, i = 0, 1, \dots, n$.
设点 \mathbf{P}_i 相应质量为 m_i (不全为0) , 则重心公式为：

重心

23

重心：给定平面上 $n+1$ 个质点的位置矢量 $\mathbf{P}_i, i = 0, 1, \dots, n$.
设点 \mathbf{P}_i 相应质量为 m_i (不全为0)，则重心公式为：

$$\mathbf{P} = \frac{\sum_{i=0}^n m_i \mathbf{P}_i}{\sum_{i=0}^n m_i}$$

重心

24

重心：给定平面上 $n+1$ 个质点的位置矢量 $\mathbf{P}_i, i = 0, 1, \dots, n$.
设点 \mathbf{P}_i 相应质量为 m_i (不全为0)，则重心公式为：

$$\mathbf{P} = \frac{\sum_{i=0}^n m_i \mathbf{P}_i}{\sum_{i=0}^n m_i}$$

\mathbf{P}_0

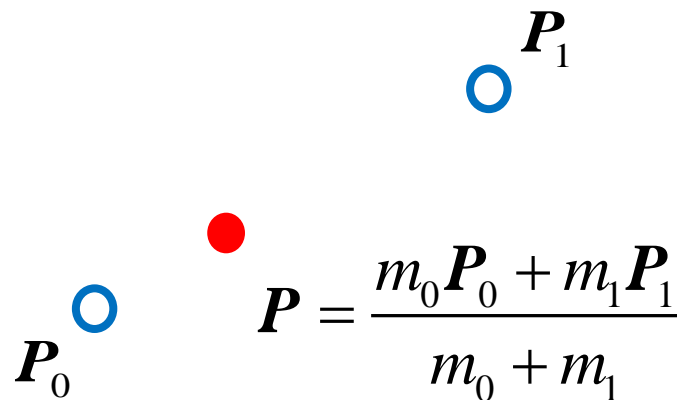
\mathbf{P}_1

重心

25

重心：给定平面上 $n+1$ 个质点的位置矢量 $\mathbf{P}_i, i = 0, 1, \dots, n$.
设点 \mathbf{P}_i 相应质量为 m_i (不全为0)，则重心公式为：

$$\mathbf{P} = \frac{\sum_{i=0}^n m_i \mathbf{P}_i}{\sum_{i=0}^n m_i}$$

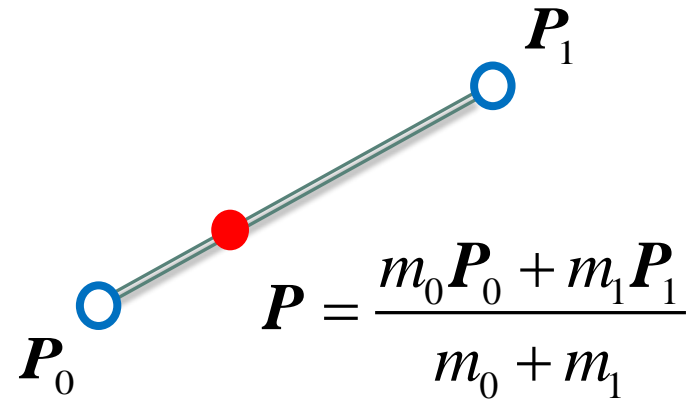

$$\mathbf{P} = \frac{m_0 \mathbf{P}_0 + m_1 \mathbf{P}_1}{m_0 + m_1}$$

重心

26

重心：给定平面上 $n+1$ 个质点的位置矢量 $\mathbf{P}_i, i = 0, 1, \dots, n$.
设点 \mathbf{P}_i 相应质量为 m_i (不全为0)，则重心公式为：

$$\mathbf{P} = \frac{\sum_{i=0}^n m_i \mathbf{P}_i}{\sum_{i=0}^n m_i}$$

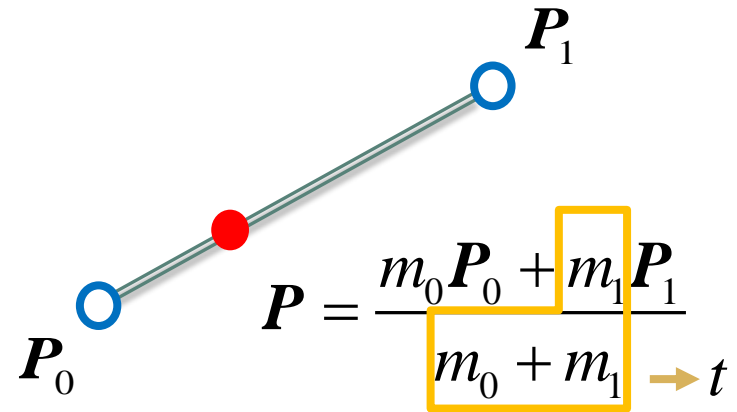


重心

27

重心：给定平面上 $n+1$ 个质点的位置矢量 $\mathbf{P}_i, i = 0, 1, \dots, n$.
设点 \mathbf{P}_i 相应质量为 m_i (不全为0)，则重心公式为：

$$\mathbf{P} = \frac{\sum_{i=0}^n m_i \mathbf{P}_i}{\sum_{i=0}^n m_i}$$

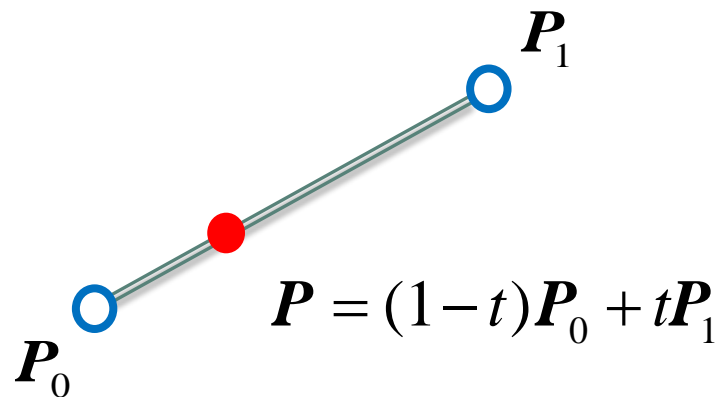


重心

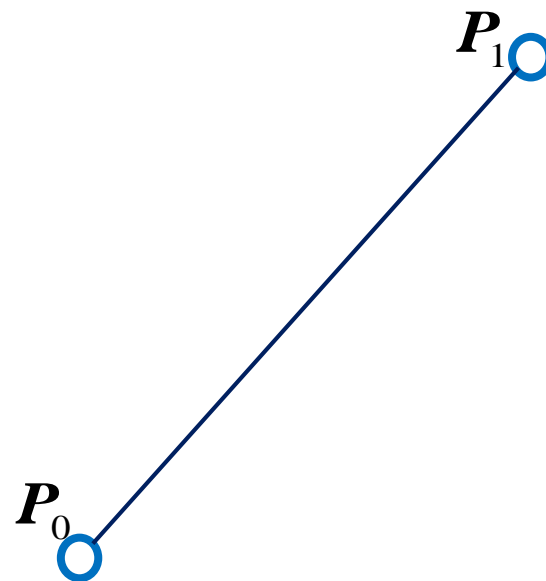
28

重心：给定平面上 $n+1$ 个质点的位置矢量 $\mathbf{P}_i, i = 0, 1, \dots, n$.
设点 \mathbf{P}_i 相应质量为 m_i (不全为0)，则重心公式为：

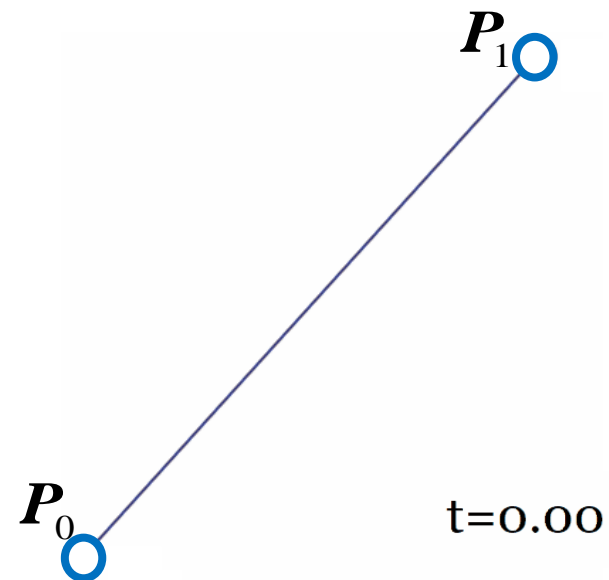
$$\mathbf{P} = \frac{\sum_{i=0}^n m_i \mathbf{P}_i}{\sum_{i=0}^n m_i}$$



一次贝塞尔曲线

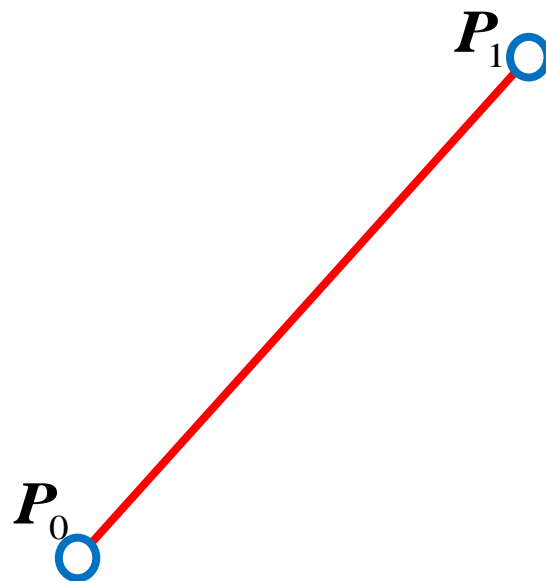


一次贝塞尔曲线



一次贝塞尔曲线

$$\mathbf{P}(t) = (1-t)\mathbf{P}_0 + t\mathbf{P}_1, t \in [0, 1], \mathbf{P}_i \in \mathbb{R}^2, i = 0, 1.$$



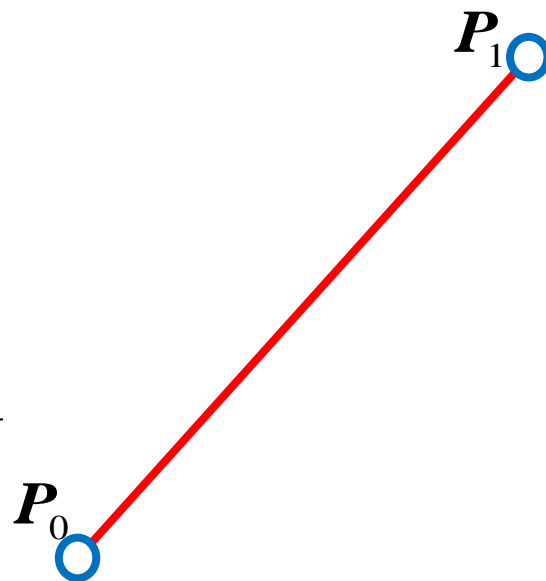
一次贝塞尔曲线

$$\mathbf{P}(t) = (1-t)\mathbf{P}_0 + t\mathbf{P}_1, t \in [0,1], \mathbf{P}_i \in \mathbb{R}^2, i = 0,1.$$

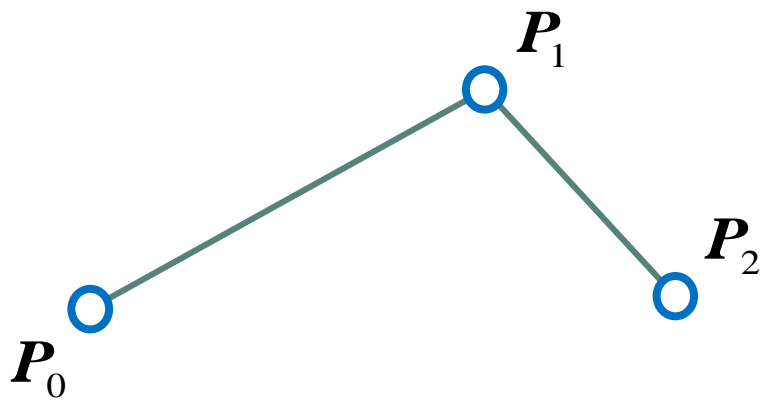
控制顶点: $\mathbf{P}_0, \mathbf{P}_1$

控制多边形: $\mathbf{P}_0\mathbf{P}_1$

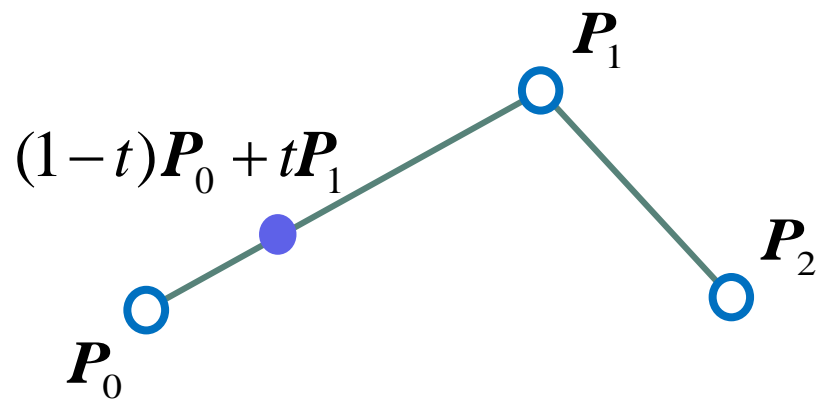
一次Bernstein基函数: $(1-t), t$



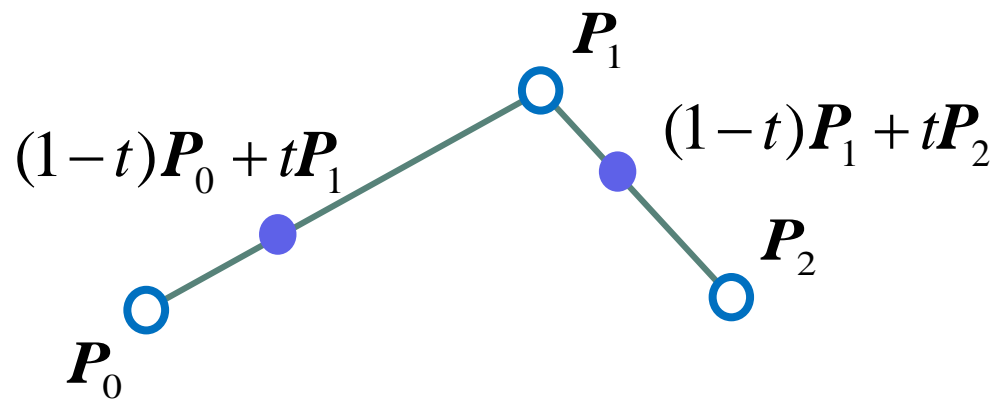
二次贝塞尔曲线



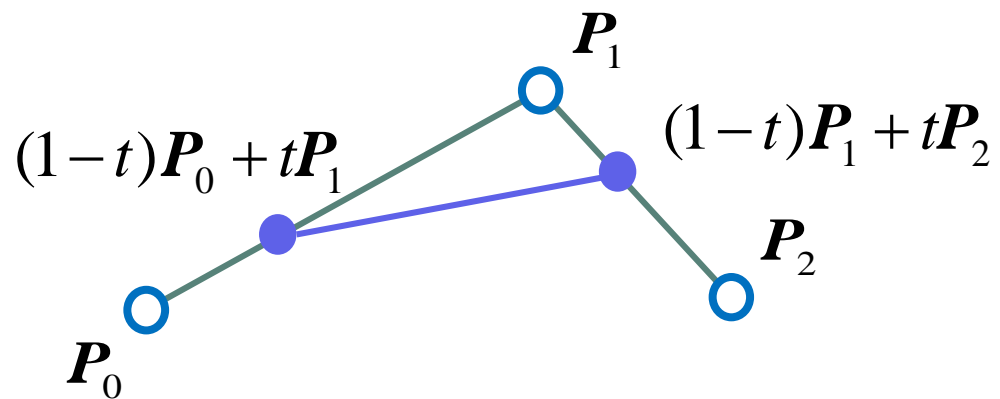
二次贝塞尔曲线



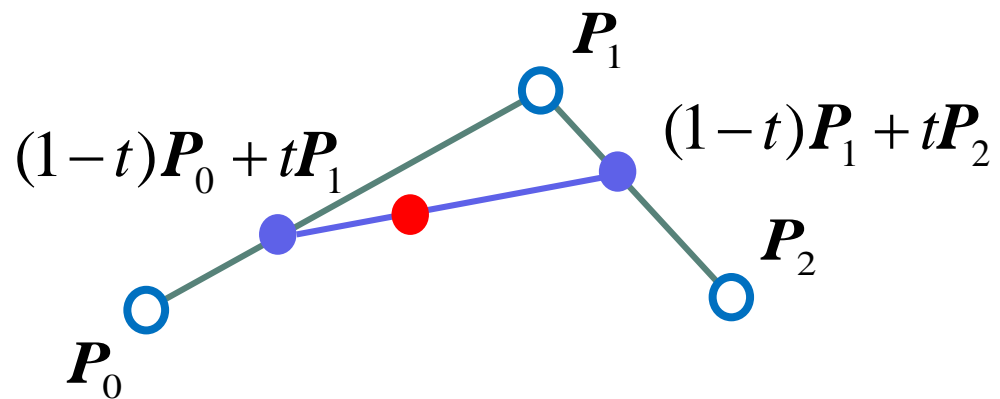
二次贝塞尔曲线



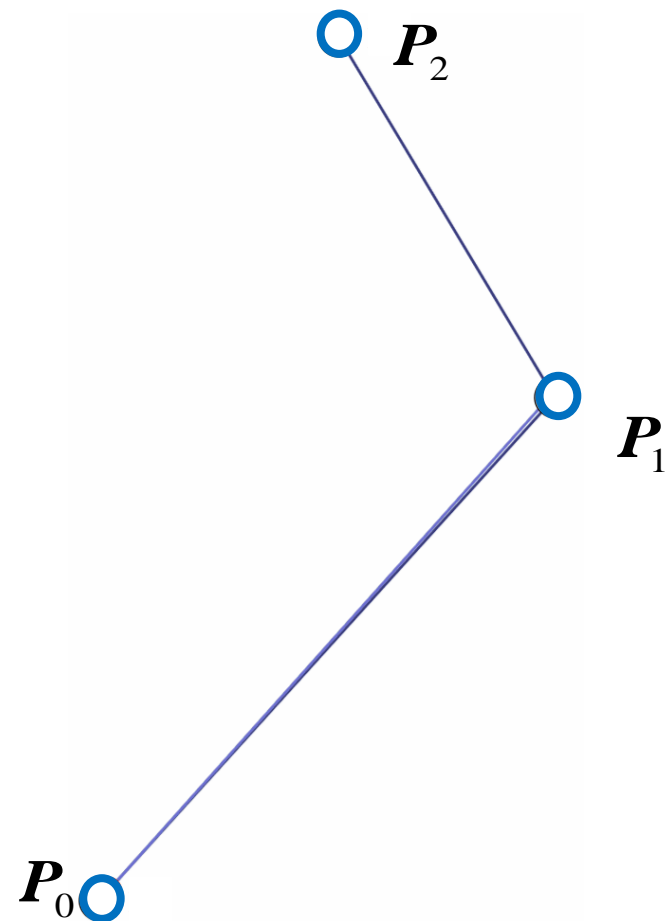
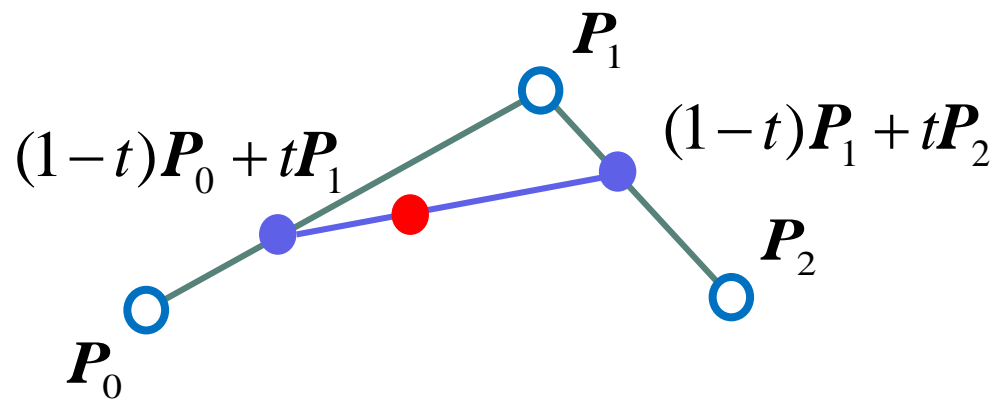
二次贝塞尔曲线



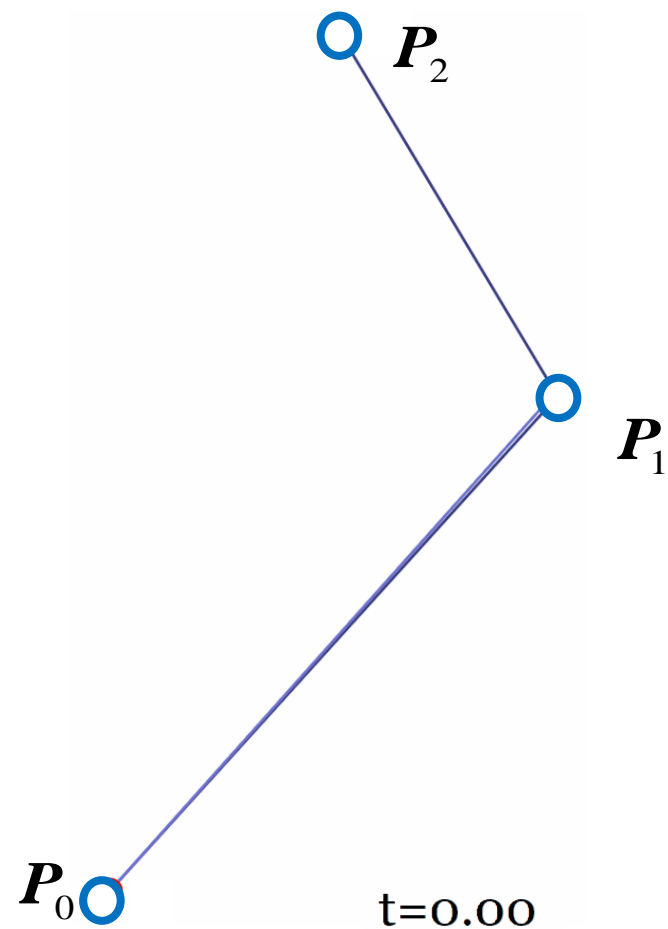
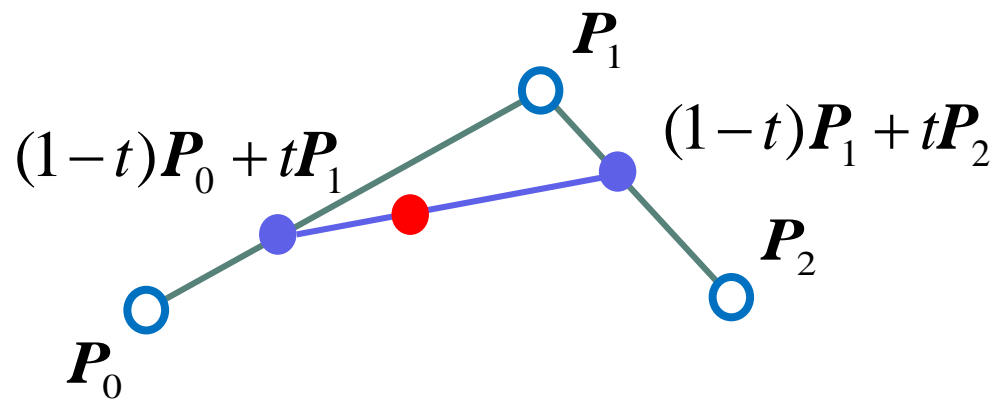
二次贝塞尔曲线



二次贝塞尔曲线

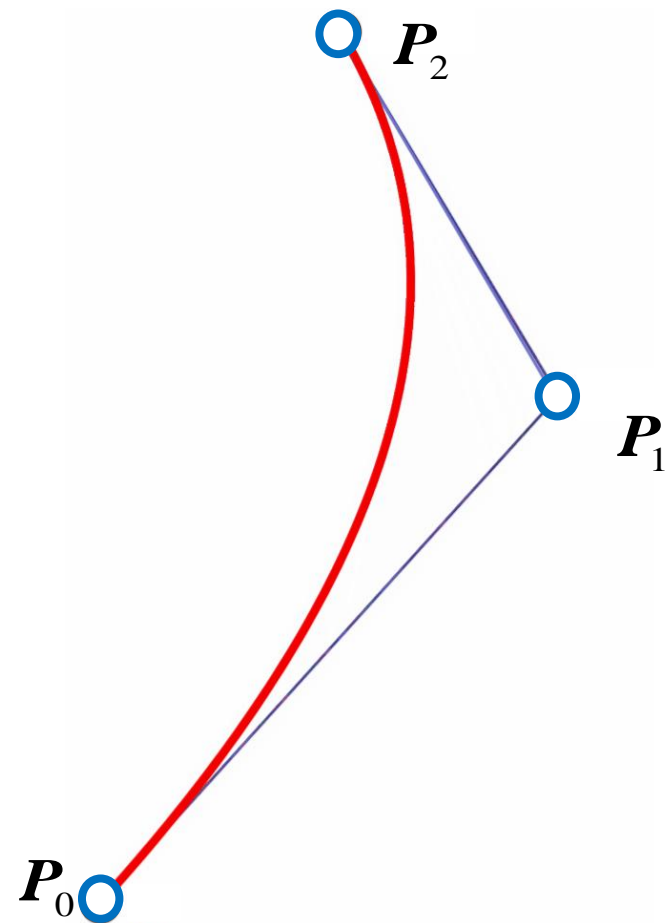
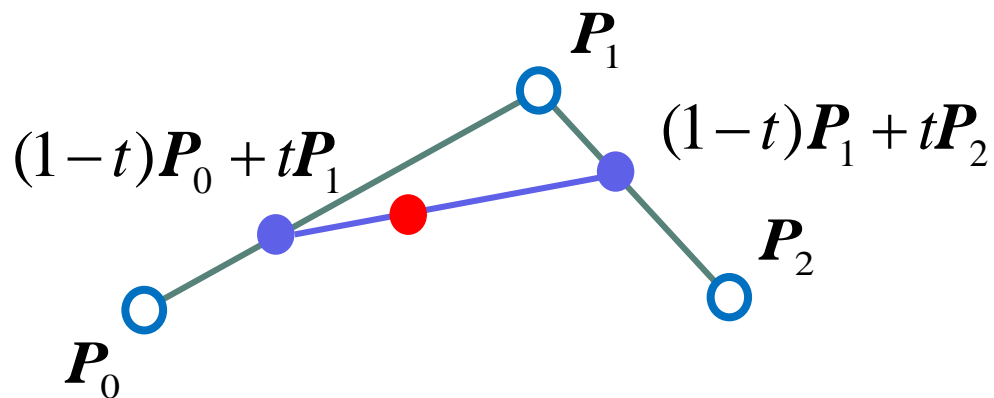


二次贝塞尔曲线



二次贝塞尔曲线

$$\mathbf{P}(t) = (1-t)^2 \mathbf{P}_0 + 2t(1-t) \mathbf{P}_1 + t^2 \mathbf{P}_2,$$
$$t \in [0,1], \mathbf{P}_i \in \mathbb{R}^2, i = 0,1,2.$$



二次贝塞尔曲线

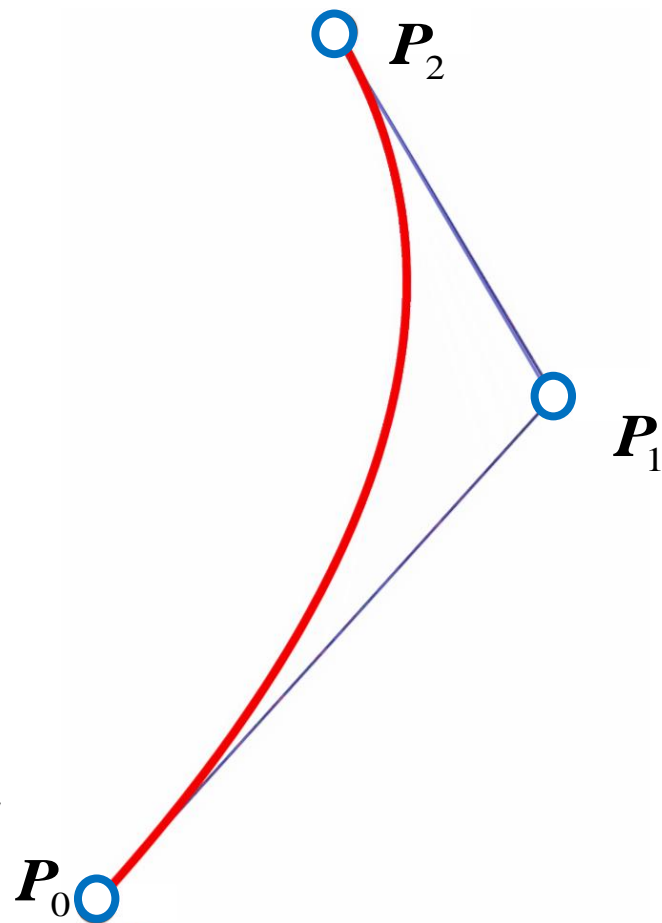
$$\mathbf{P}(t) = (1-t)^2 \mathbf{P}_0 + 2t(1-t) \mathbf{P}_1 + t^2 \mathbf{P}_2,$$

$$t \in [0, 1], \mathbf{P}_i \in \mathbb{R}^2, i = 0, 1, 2.$$

控制顶点: $\mathbf{P}_0, \mathbf{P}_1, \mathbf{P}_2$

控制多边形: $\mathbf{P}_0 \mathbf{P}_1 \mathbf{P}_2$

二次Bernstein基函数: $(1-t)^2, 2t(1-t), t^2$



二次贝塞尔曲线

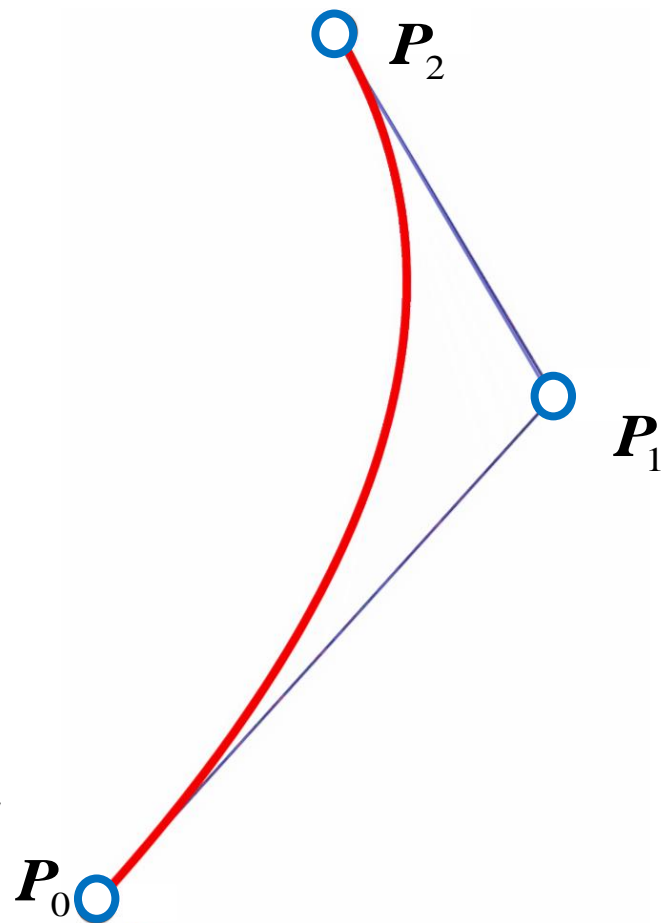
$$\mathbf{P}(t) = (1-t)^2 \mathbf{P}_0 + 2t(1-t) \mathbf{P}_1 + t^2 \mathbf{P}_2,$$

$$t \in [0, 1], \mathbf{P}_i \in \mathbb{R}^2, i = 0, 1, 2.$$

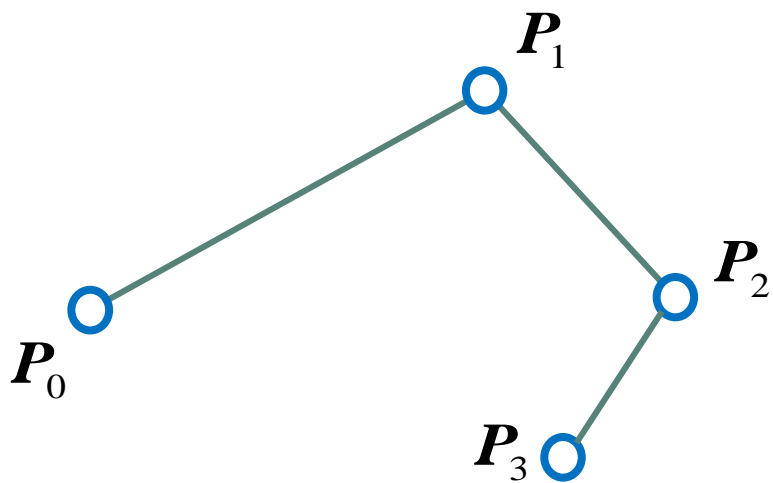
控制顶点: $\mathbf{P}_0, \mathbf{P}_1, \mathbf{P}_2$

控制多边形: $\mathbf{P}_0 \mathbf{P}_1 \mathbf{P}_2$

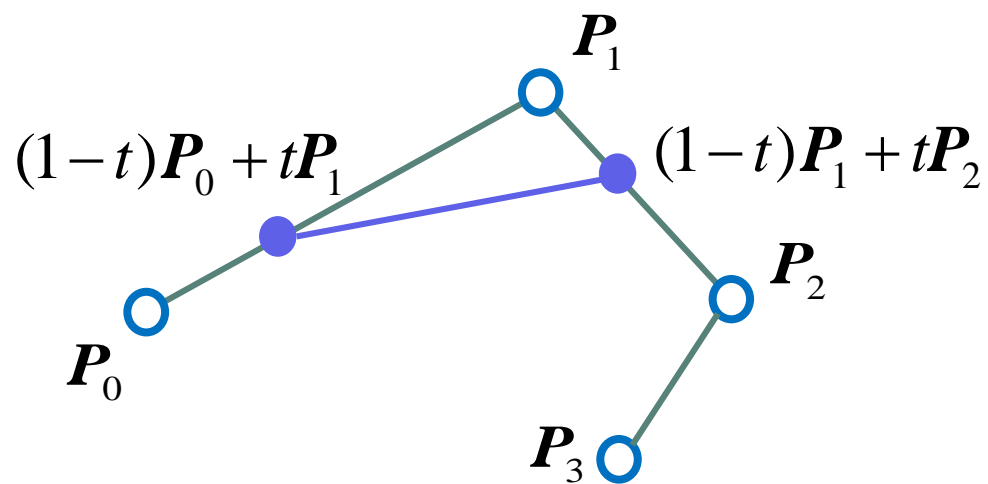
二次Bernstein基函数: $(1-t)^2, 2t(1-t), t^2$



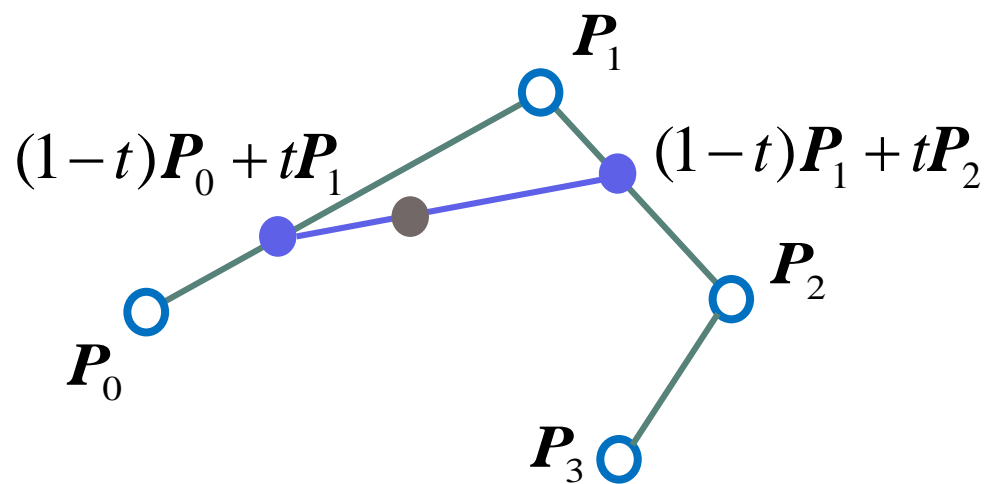
三次贝塞尔曲线



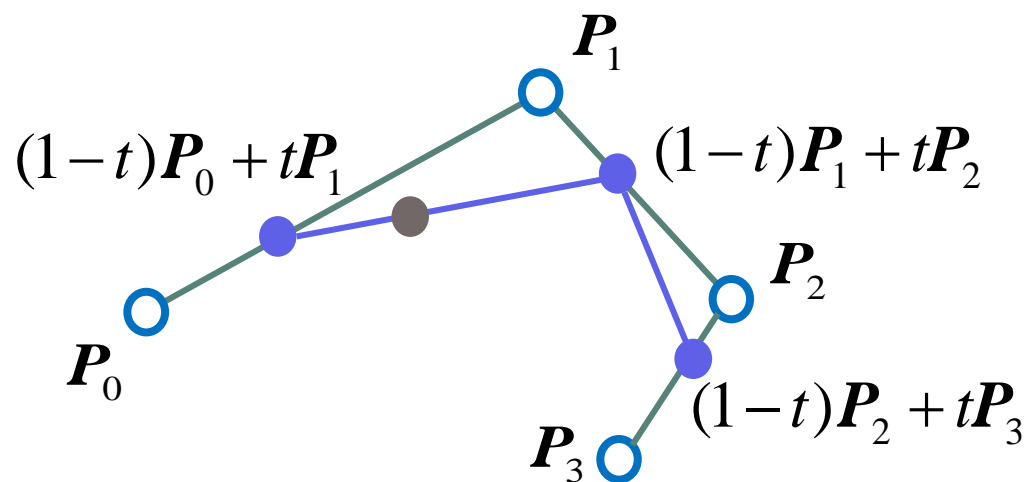
三次贝塞尔曲线



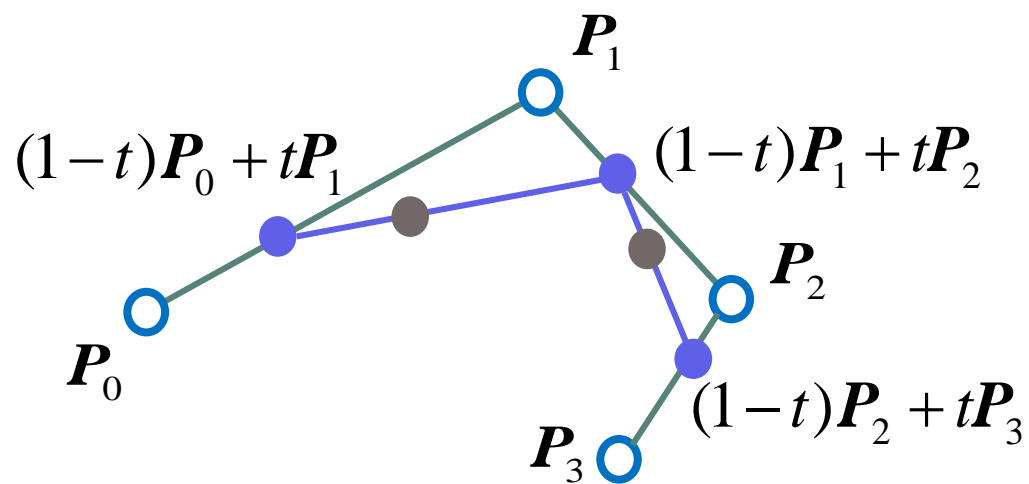
三次贝塞尔曲线



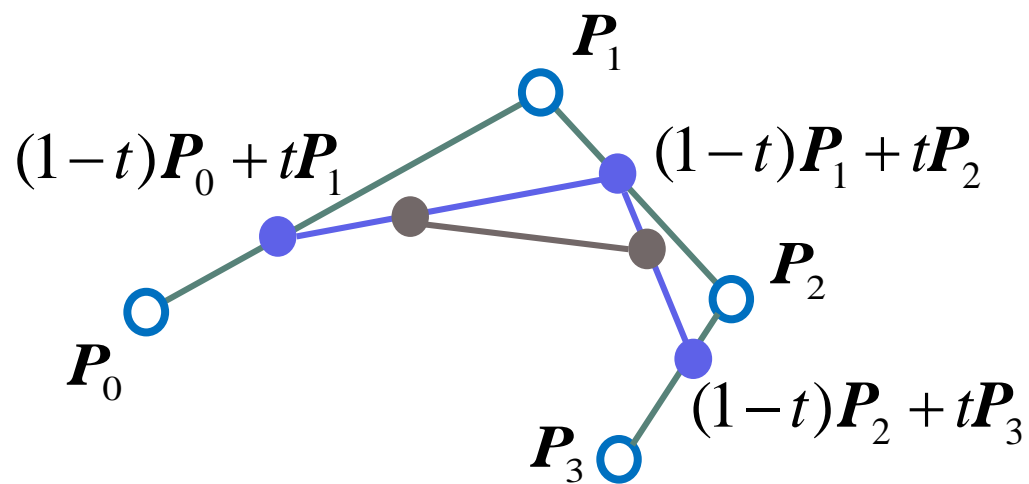
三次贝塞尔曲线



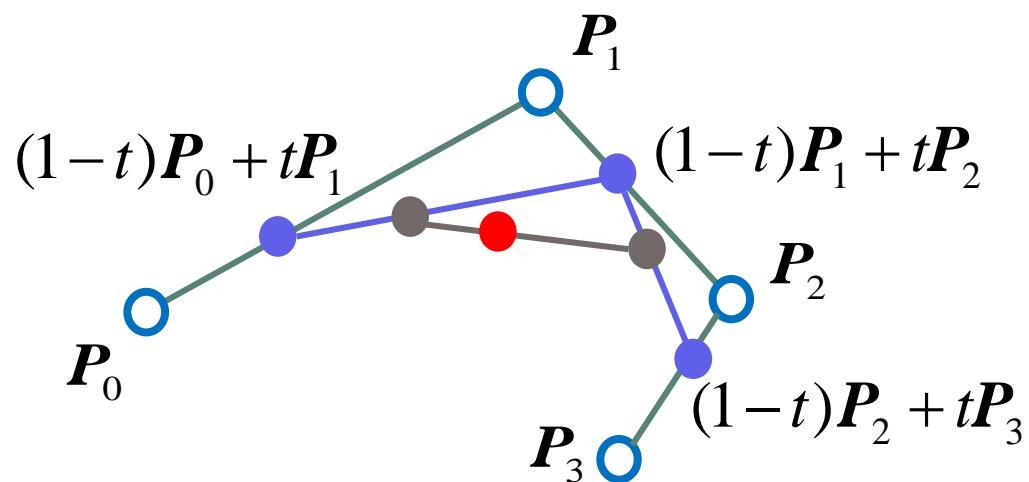
三次贝塞尔曲线



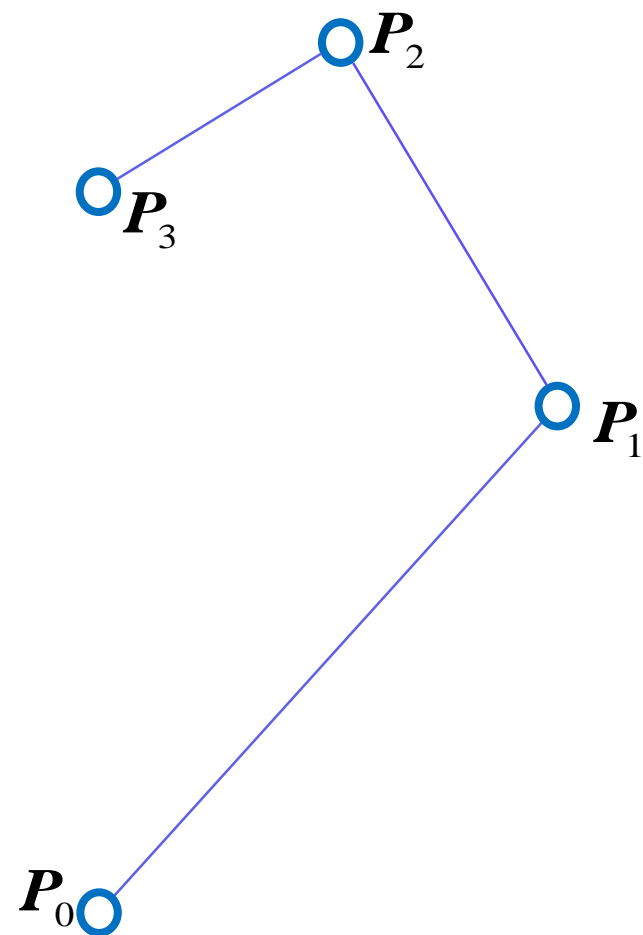
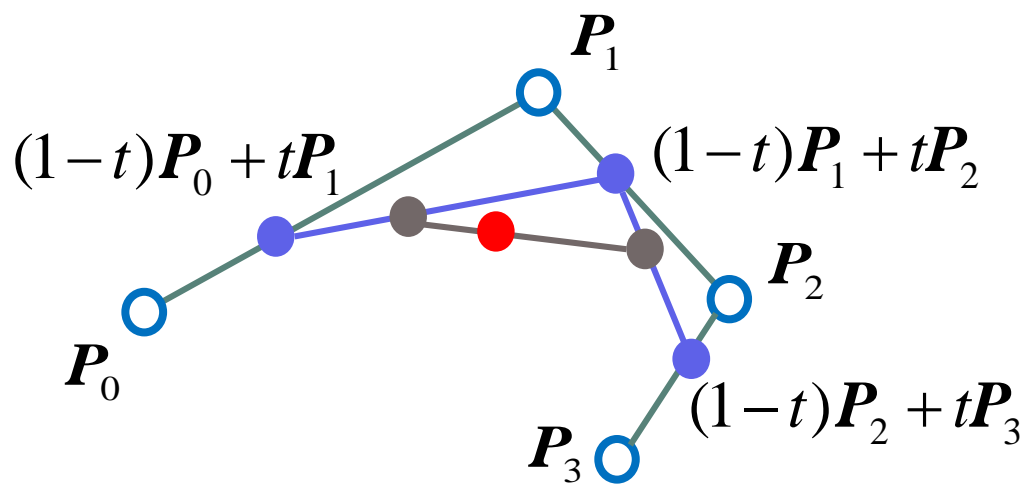
三次贝塞尔曲线



三次贝塞尔曲线



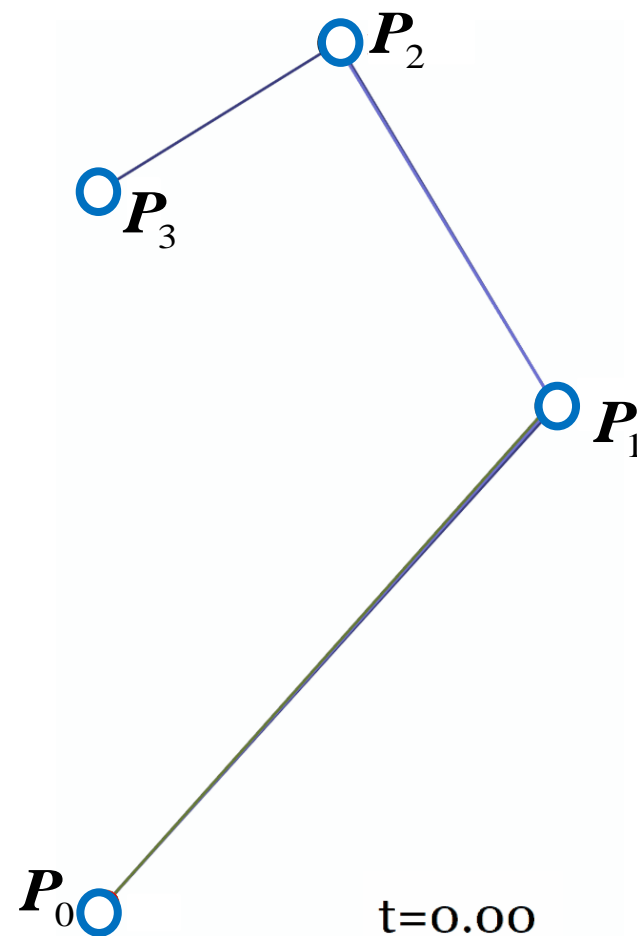
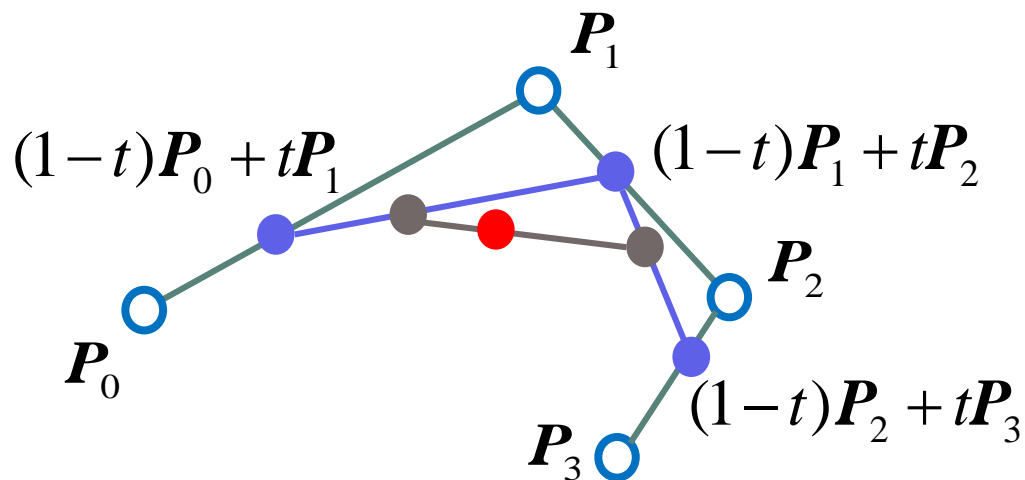
三次贝塞尔曲线



三次贝塞尔曲线

$$\begin{aligned} \mathbf{P}(t) = & (1-t)^3 \mathbf{P}_0 + 3t(1-t)^2 \mathbf{P}_1 \\ & + 3t^2(1-t) \mathbf{P}_2 + t^3 \mathbf{P}_3, \end{aligned}$$

$$t \in [0, 1], \mathbf{P}_i \in \mathbb{R}^2, i = 0, 1, 2, 3.$$



三次贝塞尔曲线

$$\begin{aligned} P(t) = & (1-t)^3 P_0 + 3t(1-t)^2 P_1 \\ & + 3t^2(1-t) P_2 + t^3 P_3, \end{aligned}$$

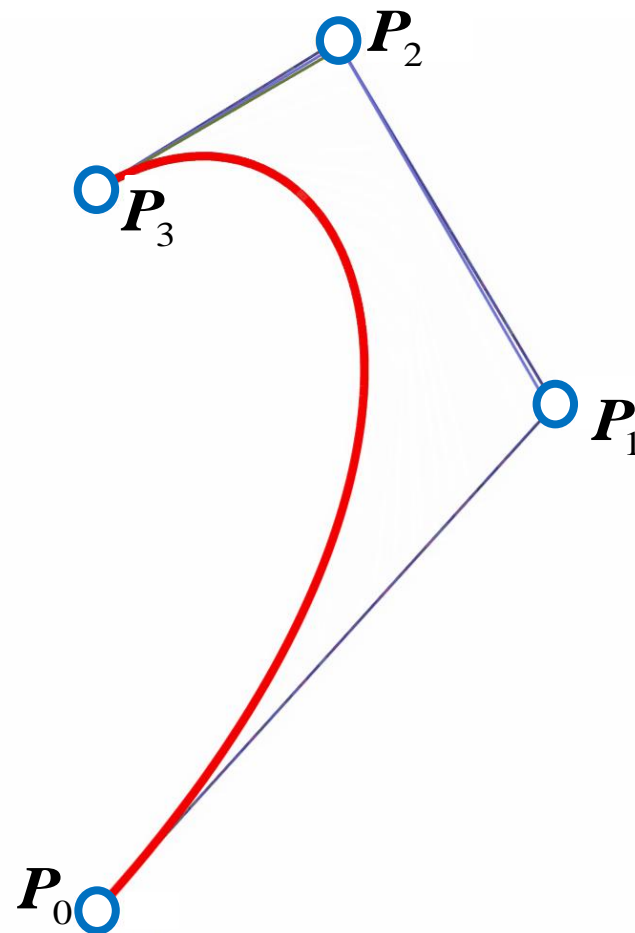
$$t \in [0, 1], P_i \in R^2, i = 0, 1, 2, 3.$$

控制顶点: P_0, P_1, P_2, P_3

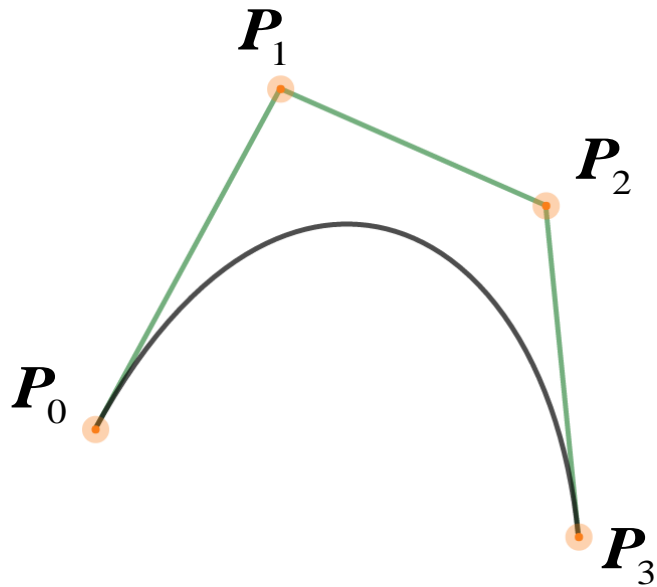
控制多边形: $P_0 P_1 P_2 P_3$

三次Bernstein基函数:

$$(1-t)^3, 3t(1-t)^2, 3t^2(1-t), t^3$$

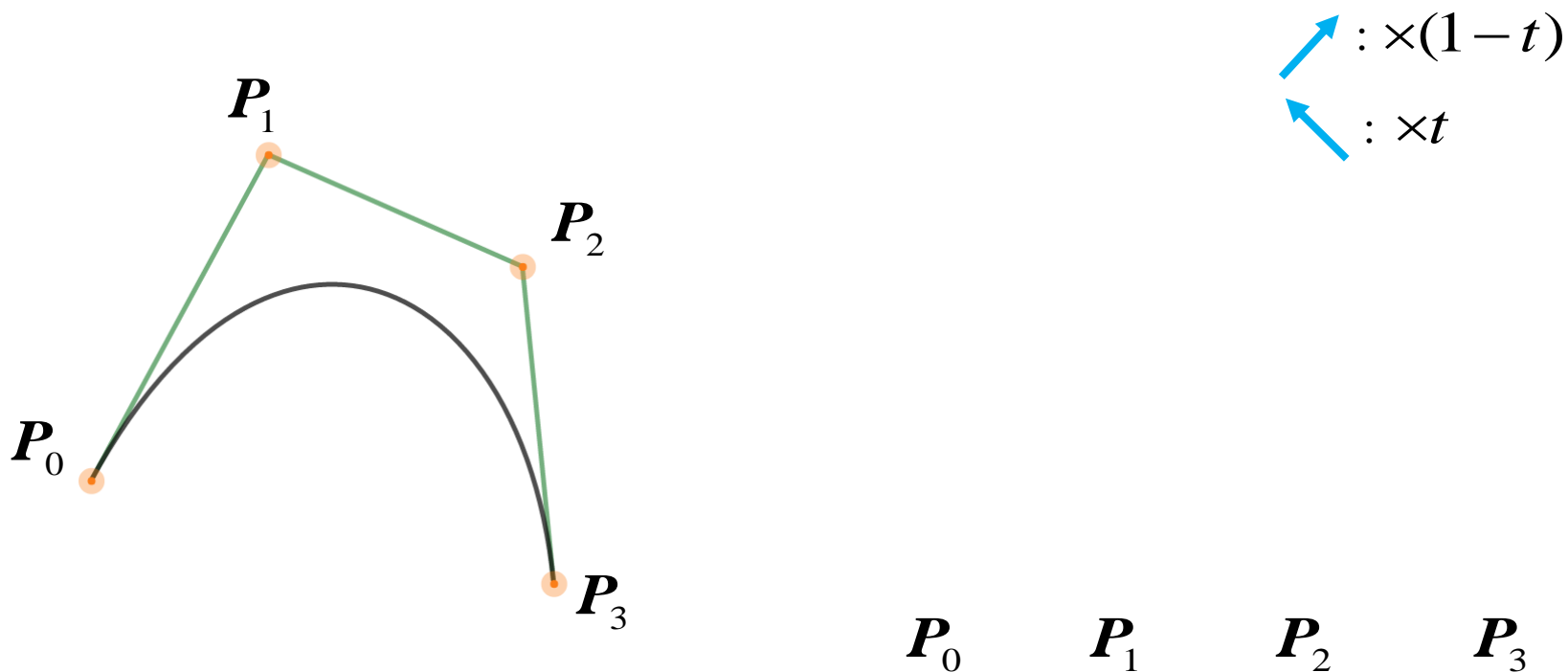


三次贝塞尔曲线的计算



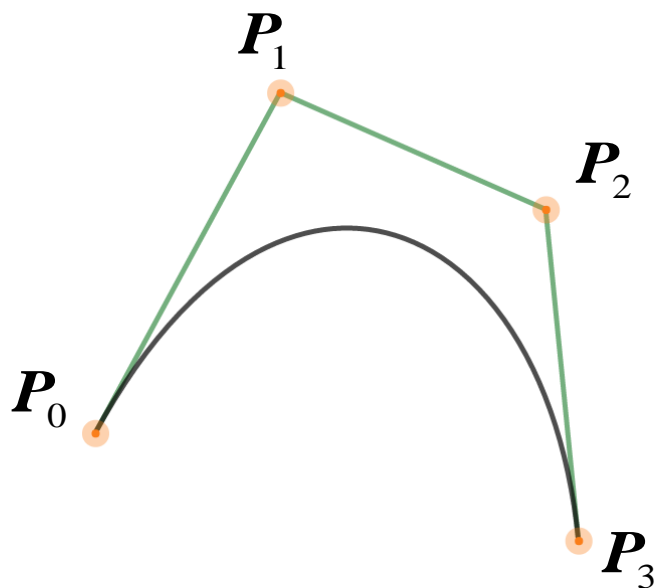
$$P(t) = \sum_{i=0}^3 C_n^i (1-t)^{3-i} t^i P_i, t \in [0,1]$$

三次贝塞尔曲线的计算

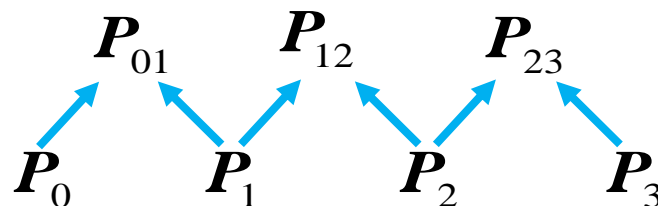


$$P(t) = \sum_{i=0}^3 C_n^i (1-t)^{3-i} t^i P_i, t \in [0,1]$$

三次贝塞尔曲线的计算

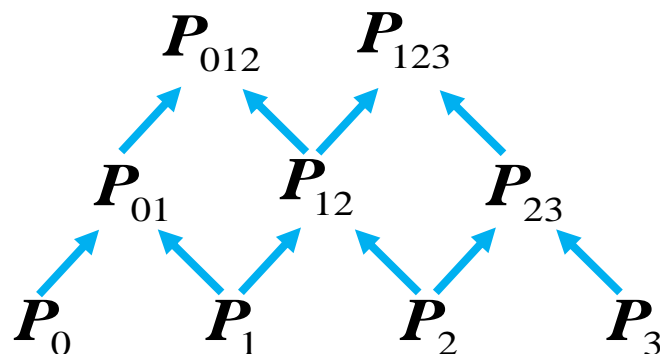
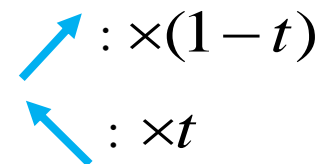
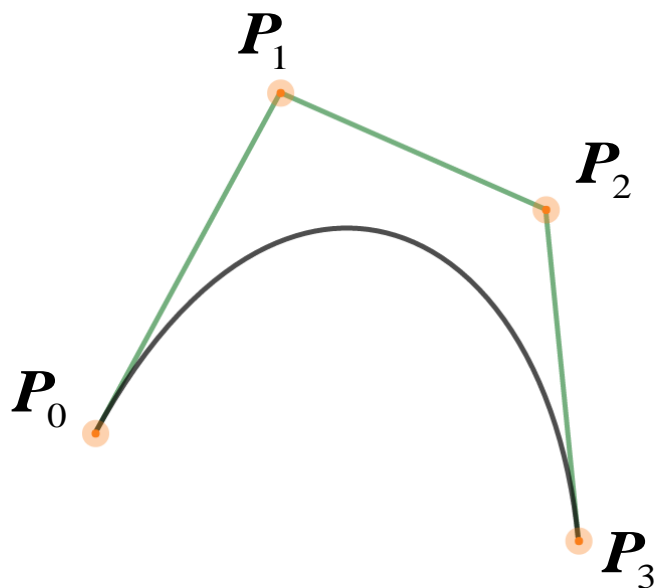


$\nearrow : \times (1-t)$
 $\nwarrow : \times t$



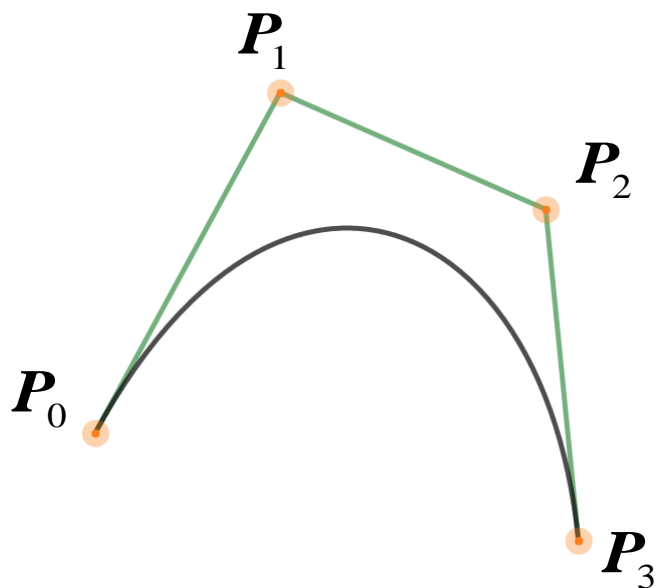
$$P(t) = \sum_{i=0}^3 C_n^i (1-t)^{3-i} t^i P_i, t \in [0,1]$$

三次贝塞尔曲线的计算

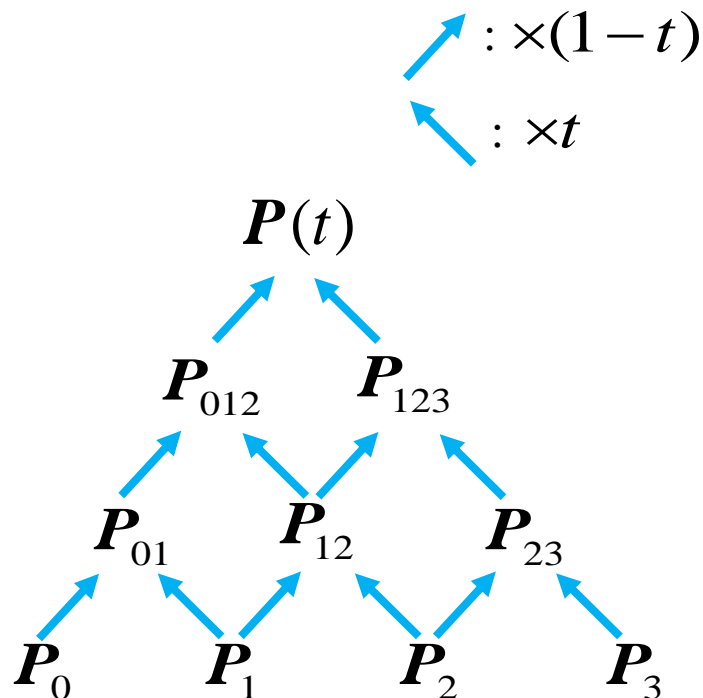


$$P(t) = \sum_{i=0}^3 C_n^i (1-t)^{3-i} t^i P_i, t \in [0,1]$$

三次贝塞尔曲线的计算



$$P(t) = \sum_{i=0}^3 C_n^i (1-t)^{3-i} t^i P_i, t \in [0,1]$$



de Casteljau 算法

Bézier曲线

58

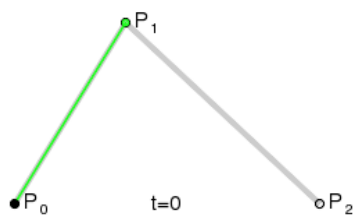
□ 定义

■ n次Bernstein多项式

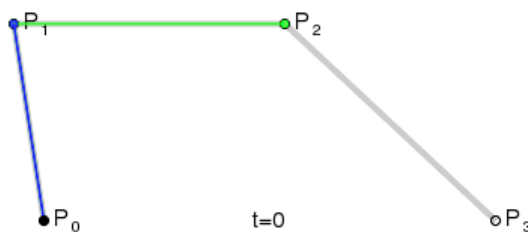
$$b_{i,n} = \binom{n}{i} t^i (1-t)^{n-i}, \quad i = 0, 1, \dots, n$$

■ (n+1)个控制顶点定义n次Bezier曲线

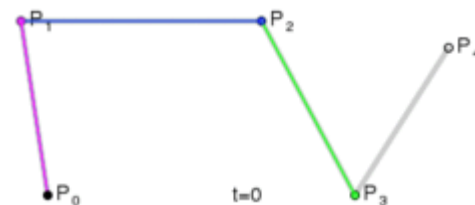
$$\mathbf{p}(t) = \sum_{i=0}^n \mathbf{p}_i b_{i,n}(t)$$



Quadratic



Cubic



Quartic

Bernstein 多项式性质

59

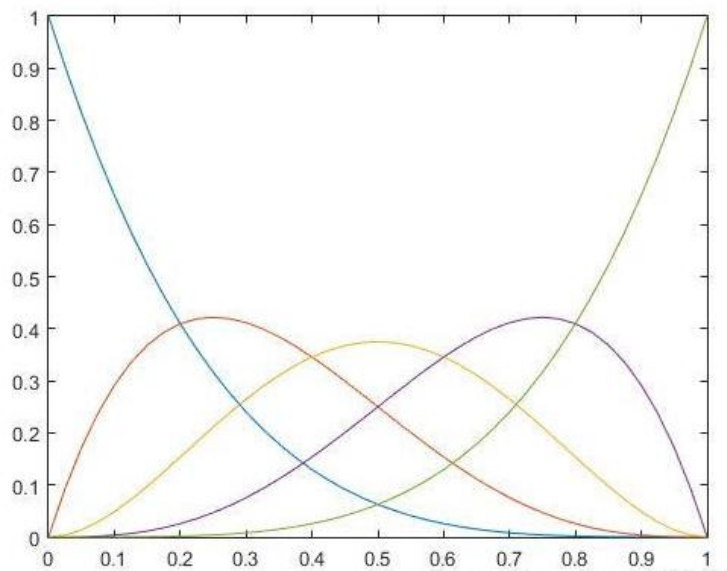
对于 $t \in [0, 1]$, Bernstein 基函数有以下性质:

1. 非负性.

$$B_i^n(t) \geq 0, t \in [0, 1].$$

2. 单位分解性.

$$\sum_{i=1}^n B_i^n(t) = [t + (1 - t)]^n \equiv 1.$$



3. 端点性质. 在端点 $t = 0$ 和 $t = 1$, 分别只有一个 Bernstein 基函数取值为 1, 其余为 0, 即

$$B_i^n(0) = \begin{cases} 1, & i = 0, \\ 0, & i \neq 0, \end{cases}, \quad B_i^n(1) = \begin{cases} 1, & i = n, \\ 0, & i \neq n. \end{cases}$$

4. 对称性. 从图像上看, 第 i 个和第 $n - i$ 个 Bernstein 基函数关于 $t = \frac{1}{2}$ 对称, 即

$$B_i^n(t) = B_{n-i}^n(1 - t), i = 0, 1, \dots, n.$$

Bézier曲线性质

60

■ 端点位置:

$$\mathbf{p}(0) = \mathbf{p}_0$$

$$\mathbf{p}(1) = \mathbf{p}_3$$

■ 端点导数:

$$\mathbf{p}'(0) = 3(\mathbf{p}_1 - \mathbf{p}_0)$$

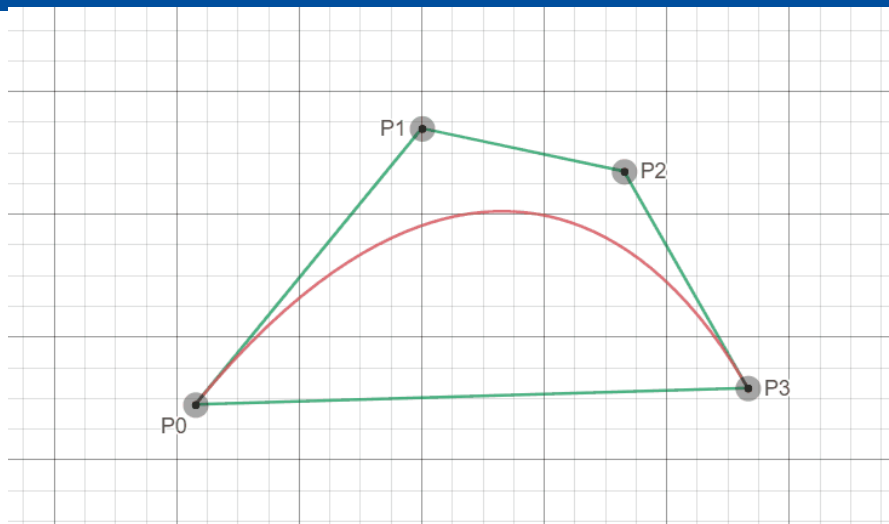
$$\mathbf{p}'(1) = 3(\mathbf{p}_3 - \mathbf{p}_2)$$

■ 保凸性质:

曲线包含在控制点形成的凸包内

■ 仿射变换不变性

■ 变差缩减性质



Bézier曲线性质

61

■ 端点位置:

$$\mathbf{p}(0) = \mathbf{p}_0$$

$$\mathbf{p}(1) = \mathbf{p}_3$$

■ 端点导数:

$$\mathbf{p}'(0) = 3(\mathbf{p}_1 - \mathbf{p}_0)$$

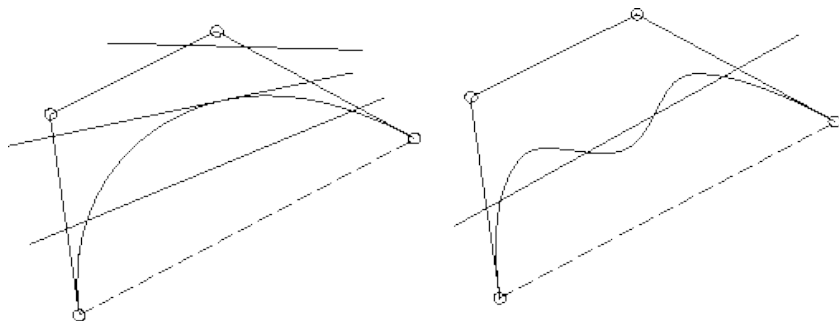
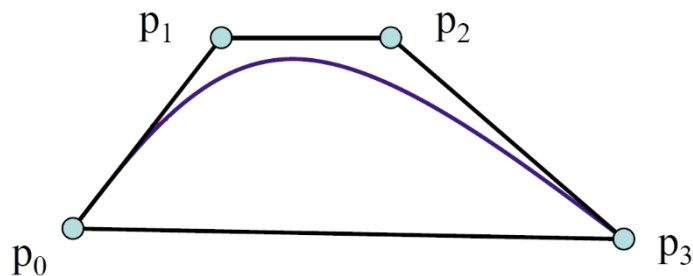
$$\mathbf{p}'(1) = 3(\mathbf{p}_3 - \mathbf{p}_2)$$

■ 保凸性质:

曲线包含在控制点形成的凸包内

■ 仿射变换不变性

■ 变差缩减性质



Possible

Impossible

Bézier曲线与一般多项式曲线

62

- Bézier曲线方程：

$$\mathbf{p}(u) = (1-u)^3 \mathbf{p}_0 + 3u(1-u)^2 \mathbf{p}_1 + 3u^2(1-u) \mathbf{p}_2 + u^3 \mathbf{p}_3$$

- 比较：一般多项式曲线

$$\mathbf{p}(u) = \mathbf{c}_0 + u\mathbf{c}_1 + u^2\mathbf{c}_2 + u^3\mathbf{c}_3$$

- 转换矩阵

$$\mathbf{p}(u) = \begin{bmatrix} (1-u)^3 & 3u(1-u)^2 & 3u^2(1-u) & u^3 \end{bmatrix} \begin{bmatrix} \mathbf{p}_0 \\ \mathbf{p}_1 \\ \mathbf{p}_2 \\ \mathbf{p}_3 \end{bmatrix}$$

Bézier曲线与一般多项式曲线

63

- Bézier曲线方程：

$$\mathbf{p}(u) = (1-u)^3 \mathbf{p}_0 + 3u(1-u)^2 \mathbf{p}_1 + 3u^2(1-u) \mathbf{p}_2 + u^3 \mathbf{p}_3$$

- 比较：一般多项式曲线

$$\mathbf{p}(u) = \mathbf{c}_0 + u\mathbf{c}_1 + u^2\mathbf{c}_2 + u^3\mathbf{c}_3$$

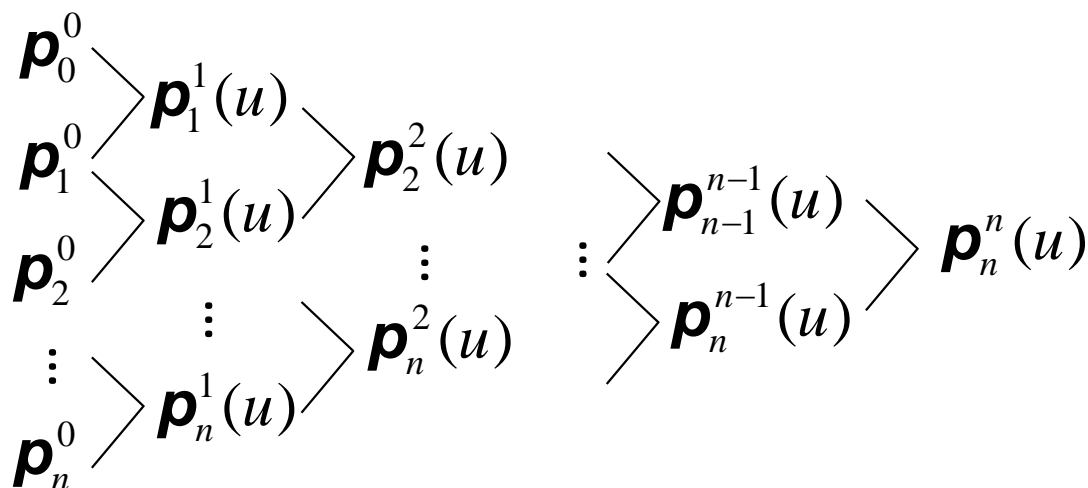
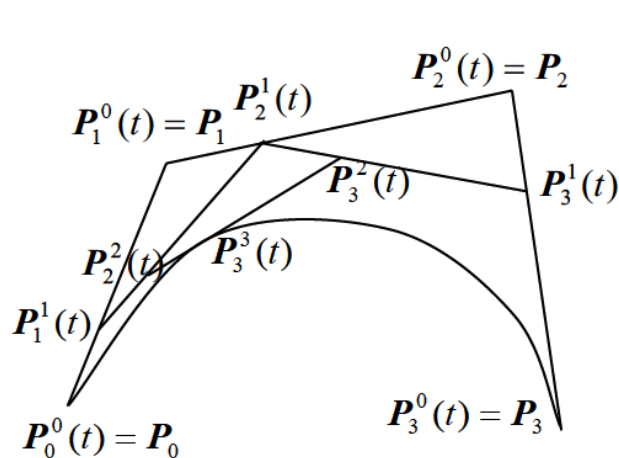
- 转换矩阵

$$\mathbf{p}(u) = \begin{bmatrix} 1 & u & u^2 & u^3 \end{bmatrix} \begin{bmatrix} 1 & 0 & 0 & 0 \\ -3 & 3 & 0 & 0 \\ 3 & -6 & 3 & 0 \\ -1 & 3 & -3 & 1 \end{bmatrix} \begin{bmatrix} \mathbf{p}_0 \\ \mathbf{p}_1 \\ \mathbf{p}_2 \\ \mathbf{p}_3 \end{bmatrix}$$

Bézier 曲线

64

▣ de Casteljau 递归算法 (作图定理)



$t = u$

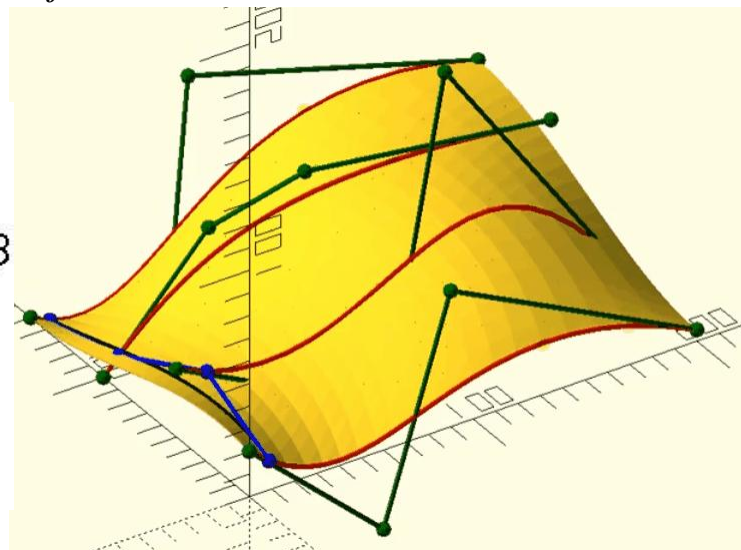
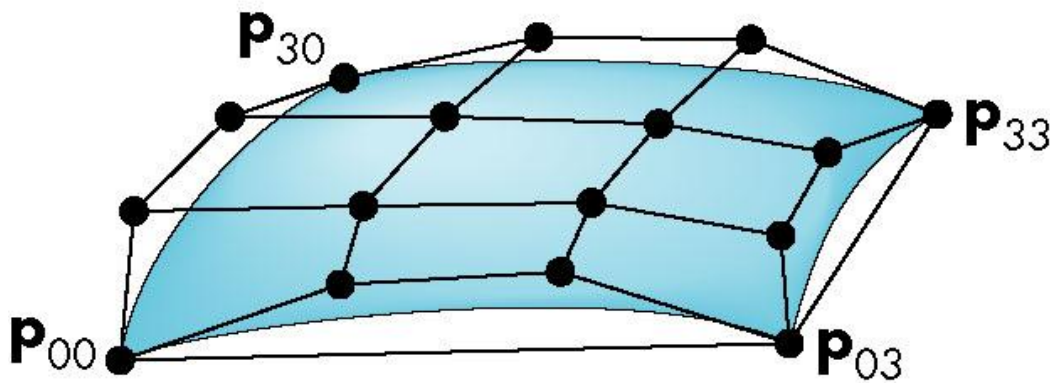
$$\begin{cases} p_i^r(u) = (1-u)p_{i-1}^{r-1}(u) + up_i^{r-1}(u) \\ p_i^0(u) \equiv p_i^0 = p_i \end{cases}$$

Bézier曲面

65

- ▣ 多项式曲面参数表达
- ▣ 由两个变量的Bernstein混合函数表示
- ▣ $m \times n$ 次Bézier曲面需要 $(m+1) \times (n+1)$ 个控制顶点

$$p(u, v) = \sum_{i=0}^m \sum_{j=0}^n p_{ij} b_{i,m}(u) b_{j,n}(v)$$



Bézier曲面片性质（以三次为例）

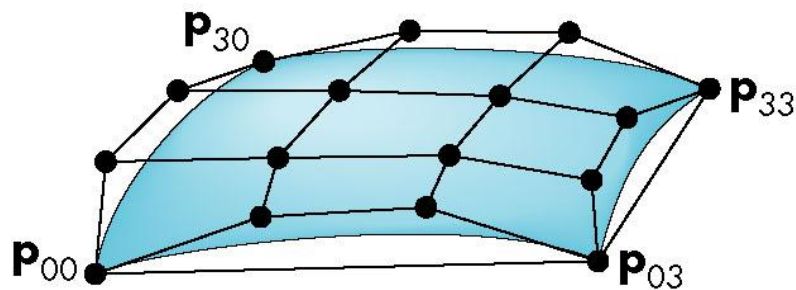
66

□ 插值四个角点 \mathbf{p}_{00} 、 \mathbf{p}_{03} 、 \mathbf{p}_{30} 和 \mathbf{p}_{33}

□ 在角点 \mathbf{p}_{00} 处， u 和 v 方向的切向为：

$$\frac{\partial \mathbf{p}}{\partial u}(0,0) = 3(\mathbf{p}_{10} - \mathbf{p}_{00}), \quad \frac{\partial \mathbf{p}}{\partial v}(0,0) = 3(\mathbf{p}_{01} - \mathbf{p}_{00})$$

□ 曲面片完全包含在数据点形成的凸包内



Bézier曲线/曲面几何建模特点

67

□ 优点

- 容易编程（de Casteljau递归）
- 端点和切向插值特性
- 参数表达
- 直观

□ 缺点

- 缺乏局部可控性
- 单条难以描述复杂形状，需拼接

